

DESCOBRINDO O CAOS NOS NÚMEROS PRIMOS

Investigações Computacionais sob o Espelho de Euler

Alvaro Costa

Versão inicial — manuscrito conceitual e laboratório computacional

“A Unidade é indiferente, mas a escolha do observador não é.”

© 2025 Alvaro J. S. Costa

Esta obra está licenciada sob a

Licença Creative Commons Atribuição 4.0 Internacional (CC BY 4.0).

Você é livre para compartilhar e adaptar este material para qualquer finalidade,
desde que a devida atribuição seja concedida ao autor.

<https://creativecommons.org/licenses/by/4.0/>

*A Matemática ocupa-se exclusivamente
da enumeração e da comparação de relações.*

Carl Friedrich Gauss

PREFÁCIO

Há uma crença silenciosa, quase nunca questionada, que atravessa a forma como aprendemos matemática desde cedo: a de que os números são entidades estáticas, isoladas, completamente conhecidas — e que o mistério, quando existe, está sempre em algum lugar distante, sofisticado, inacessível.

Este livro nasce da suspeita oposta.

Ele parte da ideia de que **o mistério não está nos números**, mas na forma como olhamos para eles.

Durante décadas — em alguns casos, séculos — matemáticos e físicos observaram sequências numéricas com instrumentos extremamente refinados: teoremas profundos, técnicas assintóticas, conjecturas poderosas. Ainda assim, certos comportamentos coletivos permaneceram invisíveis. Não por falta de inteligência ou rigor, mas por algo mais simples e mais desconfortável: **a régua usada para observar era inadequada ao fenômeno.**

Este livro é sobre isso. Sobre o que acontece quando mudamos a forma de observar.

CAOS NÃO É AUSÊNCIA DE ORDEM

A palavra *caos* costuma ser associada à desordem, ao ruído, à ausência de estrutura. Mas, na ciência moderna, caos significa algo mais preciso: um sistema determinístico cujo comportamento global não é evidente a partir de suas regras locais.

Em outras palavras, o caos não nega a ordem. Ele a esconde.

Ao longo destas páginas, não buscamos “domar” o caos nem impor regularidade onde ela não existe. O que fazemos é mais modesto — e, por isso mesmo, mais revelador: **mudamos o ponto de vista.**

Não adicionamos aleatoriedade. Não ajustamos parâmetros para obter gráficos

bonitos. Não introduzimos hipóteses externas.

Tudo o que aparece aqui emerge de estruturas aritméticas elementares, observadas de maneiras diferentes.

A IDEIA CENTRAL: OBSERVAR É ESCOLHER UMA ESCALA

Um dos conceitos mais importantes deste livro pode ser expresso de forma simples:

A forma como observamos um sistema determina quais estruturas se tornam visíveis.

Na aritmética, estamos acostumados a observar números em escalas lineares:

1, 2, 3, 4, 5, 6, ...

Essa escolha parece natural — quase inevitável. Mas ela não é neutra.

Quando mudamos o regime de observação, certos padrões desaparecem, enquanto outros emergem com clareza surpreendente. Não porque o sistema mudou, mas porque **o observador mudou**.

Este livro explora exatamente esse deslocamento: o que surge quando abandonamos a régua padrão e passamos a observar os números em escalas mais próximas de sua estrutura interna.

O QUE ESTE LIVRO FAZ — E O QUE ELE NÃO FAZ

É importante ser claro.

Este livro **não** propõe uma nova teoria dos números. Ele **não** apresenta conjecturas a serem provadas. Ele **não** substitui livros formais de matemática ou física matemática.

Ele é uma preparação do olhar. Um prelúdio para o reconhecimento de que a aritmética possui uma integridade que não depende de nós.

O que ele faz é diferente.

Aqui você encontrará:

- construções simples, passo a passo;

- experimentos numéricos reproduzíveis;
- visualizações claras;
- e, acima de tudo, **observações**.

Este é um livro de escuta, não de imposição. Nada é afirmado antes de ser visto.

Quando falamos em “ordem”, falamos de algo que **emerge**, não de algo que é colocado à força.

PARA QUEM É ESTE LIVRO

Este livro foi escrito para leitores curiosos, não para especialistas isolados.

Ele é acessível a:

- estudantes do ensino médio com interesse genuíno por matemática ou física;
- graduandos que desejam enxergar além das fórmulas;
- professores em busca de novas formas de apresentar conceitos profundos;
- leitores que apreciaram livros como *A Música dos Números Primos* e querem ir um pouco além.

Nenhum conhecimento prévio de teoria do caos, matrizes aleatórias ou estatística avançada é exigido no início. Essas ideias aparecem **quando se tornam necessárias**, e não antes.

UM CONVITE, NÃO UMA CONCLUSÃO

Este livro não pretende encerrar debates. Ele pretende abri-los.

Ao longo da leitura, você verá surgir padrões que não estavam onde esperávamos. Verá o caos perder sua opacidade e a ordem aparecer sem ser anunciada. E, talvez, perceberá algo ainda mais fundamental:

a matemática não muda — quem muda é o observador.

Se, ao final, você sair com mais perguntas do que respostas, o livro cumpriu seu papel.

Porque descobrir o caos nos números não é encontrar desordem. É aprender **onde — e como — a ordem decide se revelar**.

UM ACORDO COM O LEITOR

Este não é um livro para ser apenas lido.

Ele foi concebido como um livro-experiência. As ideias apresentadas aqui não pedem aceitação, pedem verificação. Por isso, o leitor é convidado — e, em certo sentido, convocado — a executar os experimentos descritos ao longo do texto.

Nada precisa ser instalado. Nenhum software proprietário é exigido.

Todos os códigos associados ao livro podem ser executados diretamente no *Google Colab*, em um ambiente já configurado para esse fim. Basta abrir o notebook indicado e executar as células, na ordem proposta.

Este gesto é parte do conteúdo.

Sem a execução, o livro permanece incompleto. Com ela, as afirmações deixam de ser narrativas e passam a ser registros observáveis.

POR QUE ISSO É ESSENCIAL

O fenômeno central discutido neste livro não se revela por argumentos retóricos, nem por manipulação simbólica isolada. Ele se manifesta quando:

- um sinal aritmético é construído;
- um operador é aplicado;
- a escala de observação é alterada;
- e o espectro resultante é efetivamente calculado.

Essas etapas não são ilustrativas. Elas são o experimento.

Executar o código não é um apêndice técnico — é o próprio método de leitura.

COMO LER ESTE LIVRO

A forma recomendada é simples:

1. leia a seção conceitual;
2. abra o notebook correspondente;
3. execute;
4. observe;
5. só então avance.

O tempo investido nessa prática não é um desvio do texto. É o caminho pelo qual o texto se realiza.

O COMPROMISSO

Este livro assume que o leitor aceita um compromisso mínimo:

não confiar no que é dito sem ver o que acontece.

Se esse acordo lhe parecer excessivo, este talvez não seja o livro certo — e isso está tudo bem.

Mas se você aceita a ideia de que compreender é, às vezes, executar, então este livro foi escrito exatamente para você.

A régua está na sua mesa.

O sistema está em silêncio.

Vamos começar.

NOTA AO LEITOR

Este texto não é um artigo científico, nem um tratado formal no sentido clássico.

Ele é o registro de uma descoberta estrutural: a constatação de que a aritmética dos números primos, quando observada sob uma régua geométrica adequada, **exibe, sob condições explicitamente controladas, regimes espectrais estáveis compatíveis com estatísticas da Teoria das Matrizes Aleatórias (RMT)**, sem que isso implique universalidade global fora desse regime.

Neste trabalho, o foco não é a validade global de estatísticas RMT em espectros arbitrários, mas a emergência de regimes estatísticos sob alinhamento estrutural controlado.

O leitor não é convidado a aceitar conclusões por autoridade, mas a reproduzir, observar e decidir.

O percurso é experimental, não retórico.

Nada aqui exige crença. Tudo exige atenção.

NOTA EDITORIAL SOBRE OS REGISTROS COMPUTACIONAIS

Os registros computacionais apresentados ao longo deste livro **não devem ser interpretados como material suplementar, exemplos ilustrativos ou apêndices didáticos.**

Eles cumprem uma função editorial e epistemológica precisa.

O corpo do livro estabelece uma estrutura matemática e conceitual completa, com implicações operacionais claramente delimitadas. Os notebooks não ampliam essa estrutura, não introduzem novos argumentos e não corrigem lacunas teóricas. Sua função é distinta: **demonstrar executabilidade.**

Em termos claros:

- o argumento é desenvolvido integralmente no texto;
- a validade não repousa na autoridade do autor;
- a verificação repousa na possibilidade de execução independente.

Os registros computacionais existem para que o leitor possa **repetir, alterar, perturbar e verificar** os procedimentos descritos, utilizando ambientes neutros e públicos, sem dependência de infraestrutura privilegiada, credenciamento institucional ou confiança prévia.

Não se trata de “dados anexos”. Trata-se de **rastros operacionais.**

Esses rastros fixam um critério objetivo:

- se a estrutura apresentada é correta, ela permanece estável sob execução direta;
- se não for, nenhuma formulação teórica é capaz de sustentá-la.

Por essa razão, os notebooks não são citados como evidência externa, nem como validação posterior. Eles funcionam como **instrumentos de verificação independente**, colocados à disposição do leitor após o encerramento do percurso conceitual.

O livro termina quando a régua está posta. Os registros computacionais existem apenas para que qualquer leitor possa verificar, por si mesmo, que ela não se move.

SUMÁRIO

Prefácio	iii
Nota ao leitor	ix
Nota Editorial sobre os Registros Computacionais	x
1. O Um	1
Contar é repetir	2
A primeira dobra	2
Dois papéis, uma única origem	3
O experimento mínimo	3
O que <i>não</i> está acontecendo aqui	4
Um silêncio necessário	4
Encerramento do primeiro gesto	4
2. O Pulso dos Primos	7
Da dobra à medida	7
Estrutura e estabilização	7
Uma função aritmética de contraste	8
O pulso	9
O registro visual	9
O papel do Um	10
Um sinal, não uma teoria	10

Preparação para o próximo passo	10
3. A Busca pelo Equilíbrio	13
O Paradoxo da Dívida Crescente	13
A Perspectiva Adequada: Harmonia Relativa	13
Laboratório Interativo: A Convergência	14
Um Sistema Quântico Disfarçado?	15
4. O Espectrômetro Harmônico	17
Do sinal à estrutura	17
A necessidade de um operador	18
Definição do operador harmônico	18
A escala adequada	19
O kernel harmônico	19
Simetria e observabilidade	19
O laboratório visual	20
0.1 Delimitação do escopo	21
Delimitação do escopo	21
5. A Mecânica do Espectro	23
Recapitulação operacional	23
Um domínio finito e controlado	23
Preparação dos dados de entrada	24
Construção explícita do operador	24
Autovalores e autovetores: definições mínimas	25
O espectro do operador em dimensão finita	25
Limites do regime finito	25
Delimitação do escopo	26
6. Estatísticas Espectrais e Regimes de Escala	28

Introdução operacional	28
Do espectro discreto ao regime estatístico	28
Espaçamentos normalizados	29
A distribuição dos espaçamentos $P(s)$	29
Razão de espaçamentos adjacentes	30
Variância numérica $\Sigma^2(L)$	30
Regimes de escala e protocolo experimental	31
Delimitação do escopo	31
7. Reconhecimento de uma Classe Universal	33
O que muda ao atravessar a fronteira	33
Classes espectrais como padrões de referência	33
A primeira assinatura: repulsão de níveis	34
A estatística escalar e o valor de referência	34
Rigidez global do espectro	35
Determinismo e universalidade	36
Parâmetros do protocolo e estabilidade do fenômeno	36
Delimitação do que foi reconhecido	37
8. A Ótica Adequada: Por Que a Escala Logarítmica É Estrutural	39
Do fenômeno à necessidade	39
A escala como parte do objeto	40
O papel de $\Delta_\pi(x)$ sob reparametrização	40
Complexidade efetiva e mistura de fases	41
O experimento ótico	41
O que este capítulo não afirma	42
9. A Escala Logarítmica — A Lente para o Caos	44
A topografia dos primos	44
Verificação empírica	45

A lente linear: um palco instável	45
A mudança de variável e a densidade logarítmica	46
A lente logarítmica: a estabilização do palco	47
A condição de emergência	47
Síntese	48
10. As Condições para Ouvir o Caos	50
Os três pilares do protocolo	50
Verificação empírica	52
Causa e efeito	52
Síntese	53
11. A Anatomia do Caos — Análise dos Autovetores	55
Para além dos autovalores	55
Ferramenta I — Participation Ratio	56
Ferramenta II — Estatística dos componentes	56
O laboratório empírico	57
Resultados — sinal genuíno e artefato	57
Diagnóstico estrutural	58
Perspectiva aplicada — uma primitiva criptográfica	59
12. O Observador no Espelho — Controles e Robustez	61
O espanto da observação	61
O experimento de controle	62
A descoberta — o caos dos primos é especial	62
A singularidade da assinatura dos primos	63
A música dos primos e o ruído de fundo	63
13. A Universalidade do Caos — Varreduras de Escala	66
Uma lei local ou universal?	66

O experimento: varredura através das escalas	67
O laboratório de varredura	67
A transição para o caos universal	68
Síntese	68
14. Onde Mora o Caos? — Testando Operadores Alternativos	71
A última dúvida	71
A troca do instrumento	72
Hipótese operacional	72
Resultado: invariância estatística	73
Onde o caos realmente reside	74
15. A Confirmação nas Alturas Estratosféricas	76
Contexto histórico: Montgomery, Berry e Odlyzko	76
O desafio das alturas estratosféricas	77
Análise dos dados estratosféricos	78
Hipótese final	78
Reprodutibilidade computacional e o papel do Notebook 15	79
16. A Visão de Berry — A Assinatura Universal do Caos Quântico	82
O paradoxo do caos	82
Onde foi parar o caos? A pergunta de Berry	82
A resposta universal: a conjectura BGS	83
A pedra angular deste trabalho	83
A aritmética como objeto espectral de classe caótica	84
Ordem, aleatoriedade e reconciliação	84
17. A Ponte de Berry — De Pitágoras a Dyson	87
Três mundos, uma só música	87
A ponte inadvertida de Michael Berry	88

O fio invisível: o Um como fonte comum	88
A dobra em 1/2: terra e céu	89
17 1/2. Estatuto da Afirmação — Necessidade, Universalidade e Escolha	91
Três níveis distintos	91
Sobre necessidade e inevitabilidade	93
Sobre prova, fundamento e espaço de possibilidade	94
O papel do observador	95
18. Ressonância da Unidade — Onde Euler e o Caos se Encontram	97
A identidade que fecha o círculo	97
A constante de retorno	97
A assinatura do caos organizado	98
A integridade como ressonância	98
Palavras finais — saturação conceitual	99
Uma imagem final	99
Epílogo	101
Referências Bibliográficas Essenciais	102

1. O UM

*Antes do dois, não havia número.
Havia apenas o Um — indivisível, silencioso e suficiente.
— Fragmento atribuído à escola pitagórica*

Antes de qualquer número, há um gesto.

Contar não é uma operação abstrata. É um ato físico e mental: repetir algo que já existe. Tudo o que chamamos de número nasce da repetição de uma única entidade — o **Um**.

Quando escrevemos a sequência dos números naturais,

1, 2, 3, 4, ...

o que estamos realmente fazendo é repetir o 1 em intervalos iguais. O dois é a primeira repetição explícita do Um. O três é três “uns”. O quatro é o mesmo gesto reiterado mais uma vez.

Nesse sentido, o **1** não é apenas o primeiro número da sequência. Ele é aquilo que torna a sequência possível. Sem o Um, não há contagem. Sem contagem, não há aritmética.

Essa ideia — antiga, quase esquecida — era central para os pitagóricos. A Mônada não era vista como um número entre outros, mas como o princípio silencioso a partir do qual todos os outros emergem.

Este livro começa exatamente aí.

CONTAR É REPETIR

Quando começamos a contar, não fazemos perguntas sofisticadas. Apenas avançamos:

$$1 \rightarrow 2 \rightarrow 3 \rightarrow 4 \rightarrow \dots$$

Esse avanço parece trivial, mas ele carrega uma decisão implícita: tratamos todos os passos como equivalentes. Cada unidade adicionada é idêntica à anterior. Essa regularidade cria a ilusão de que a sequência inteira é homogênea.

Ela não é.

Mesmo em uma reta construída apenas pela repetição do Um, surgem diferenças internas. Algumas entidades resistem à decomposição. Outras existem apenas como combinações das primeiras. São essas diferenças que, mais adiante, darão origem à estrutura que queremos observar.

Mas ainda não é hora de falar disso.

Antes de distinguir, é preciso **olhar**.

A PRIMEIRA DOBRA

Considere a reta numérica que vai de 1 até algum valor x . Agora faça algo extremamente simples: **dobre essa reta ao meio**, no ponto $x/2$.

Essa operação não exige nenhum conhecimento técnico. É apenas uma divisão do intervalo observado em duas metades: a primeira metade, de 1 até $x/2$; e a segunda metade, de $x/2$ até x .

Essa dobra — aparentemente ingênua — revela algo importante quando observamos os números primos.

Os primos que aparecem na primeira metade do intervalo ainda são capazes de gerar novos números compostos dentro do intervalo completo. Seus múltiplos continuam “atuando” sobre a reta observada. Eles **estruturam**.

Os primos que aparecem na segunda metade já não conseguem fazer isso. Qualquer múltiplo deles ultrapassa o limite x . Eles não criam novos compostos ali. Eles apenas ocupam posições que restaram vazias. Eles **estabilizam**.

Essa separação não é artificial. Ela surge automaticamente a partir da dobra. Sem imposição, sem ajuste.

DOIS PAPÉIS, UMA ÚNICA ORIGEM

A partir desse gesto, os primos passam a desempenhar dois papéis complementares:

- **Estruturadores** ($\pi_S(x)$): os primos da primeira metade, que ainda participam ativamente da construção dos compostos;
- **Estabilizadores** ($\pi_N(x)$): os primos da segunda metade, que apenas preenchem lacunas.

Ambos nascem do mesmo processo: a repetição do Um. Nenhum deles é especial por si só. O que muda é **onde** estão quando observamos.

Essa distinção não depende de teoria avançada. Ela depende apenas da posição relativa dos números quando escolhemos um ponto de observação.

O que importa aqui não é o valor absoluto, mas a relação.

O EXPERIMENTO MÍNIMO

Neste ponto, o livro pede um único gesto ao leitor: executar o primeiro notebook (01_o_um.ipynb).



Nada precisa ser entendido de antemão. Basta executar.

Ao visualizar os primos até um certo valor N , coloridos conforme seu papel relativo à dobra em $N/2$, algo se torna evidente: a estrutura se mantém quando a escala muda.

Aumente N . Dobre novamente. Observe.

Os padrões não desaparecem. Eles se reproduzem de forma estável.

Nada novo é adicionado ao sistema. A informação da primeira metade se reflete na segunda por meio da estrutura dos compostos. O sistema não importa ordem de fora. Ele se organiza a partir do que já está lá.

O QUE NÃO ESTÁ ACONTECENDO AQUI

É importante dizer explicitamente o que este capítulo não faz.

Aqui não há:

- hipóteses probabilísticas;
- modelos estatísticos;
- aproximações assintóticas;
- argumentos retóricos.

Não há caos. Não há ordem emergente. Não há espectro.

Ainda não.

Tudo o que fizemos foi contar, dobrar e observar.

UM SILÊNCIO NECESSÁRIO

O papel do Um, até aqui, é curioso.

Ele sustenta toda a construção, mas não participa diretamente das relações que começam a surgir. Quando olhamos para conexões, estruturas e papéis, o 1 parece desaparecer. Ele não se conecta. Ele não estrutura. Ele não estabiliza.

E, no entanto, nada disso existiria sem ele.

Esse paradoxo não será resolvido agora. Ele será apenas respeitado.

O Um não entra na relação. Ele a sustenta.

ENCERRAMENTO DO PRIMEIRO GESTO

Este capítulo não conclui nada. Ele apenas coloca a régua sobre a mesa.

Nos capítulos seguintes, transformaremos essa observação qualitativa em um sinal explícito. Mediremos o desbalanceamento entre os dois papéis. Construiremos um operador. Mudaremos novamente a escala.

Mas tudo o que virá depois depende deste gesto inicial simples e silencioso:

repetir o Um, dobrar a reta, e olhar com atenção.

Antes de qualquer caos, há apenas isso.

PONTO DE REPOUSO

O gesto da dobra separa os papéis funcionais dos primos de forma inequívoca. Abaixo de $x/2$, os primos geram multiplicidade e compõem a malha estrutural dos compostos. Acima desse limiar, ocupam a reta sem produzir novos vínculos, estabilizando o sistema.

O sistema aritmético não se organiza como uma sucessão de pontos isolados, mas como uma tensão entre estrutura e equilíbrio. O ponto $x/2$ marca a fronteira funcional onde a geração de multiplicidade se extingue, sem que a coerência da reta seja perdida.

A Unidade permanece como âncora. Ela permite que essa dobra seja observada sem fragmentação, fixando o sistema no intervalo $[1, x]$ como um todo coerente.

2. O PULSO DOS PRIMOS

A harmonia consiste em uma mistura de opostos.

— Heráclito

DA DOBRA À MEDIDA

No capítulo anterior, realizamos um gesto simples: dobrar a reta numérica no ponto $x/2$. Nada além disso.

Esse gesto, aparentemente elementar, revelou algo decisivo: ao dividir o intervalo observado em duas metades, os números primos passam a desempenhar **papéis distintos**, não por sua natureza intrínseca, mas por sua **posição relativa** ao ponto de observação.

Na primeira metade, os primos ainda participam ativamente da formação dos números compostos. Na segunda, já não o fazem.

Essa distinção não foi imposta por teoria alguma. Ela emergiu diretamente da contagem e da dobra.

O próximo passo natural não é interpretar essa diferença, mas **medi-la**.

Se existem dois papéis complementares atuando simultaneamente, é legítimo perguntar: qual deles predomina em cada instante da observação?

ESTRUTURA E ESTABILIZAÇÃO

Chamemos de **estruturadores** os primos que se encontram na primeira metade do intervalo observado. Por estarem em $[1, x/2]$, seus múltiplos ainda cabem em $[1, x]$,

e é por meio deles que os números compostos se formam.

Chamemos de **estabilizadores** os primos que se encontram na segunda metade, em $(x/2, x]$. Esses primos já não produzem novos compostos dentro do intervalo observado. Eles ocupam posições que não foram preenchidas pela ação dos estruturadores.

Esses dois papéis não são identidades fixas. São **funções transitórias**.

À medida que o intervalo cresce, um primo que hoje estabiliza passará, amanhã, a estruturar. A sequência dos primos não é estática: ela carrega consigo uma dinâmica interna de redistribuição de funções.

É essa dinâmica — e não a existência isolada de primos — que começa a revelar a complexidade do sistema.

UMA FUNÇÃO ARITMÉTICA DE CONTRASTE

Para observar essa dinâmica, precisamos de um instrumento simples, direto e inteiramente aritmético.

Definimos a função $\pi(x)$ como a contagem exata de primos menores ou iguais a x . Com ela, podemos quantificar:

- o número de primos estruturadores: $\pi(\lfloor x/2 \rfloor)$;
- o número de primos estabilizadores: $\pi(x) - \pi(\lfloor x/2 \rfloor)$.

A diferença entre essas duas quantidades define uma função aritmética natural de contraste:

$$\Delta_{\pi}(x) = \pi(x) - 2 \pi(\lfloor \frac{x}{2} \rfloor).$$

Essa função não prevê, não ajusta e não suaviza nada. Ela apenas **mede**, a cada valor de x , qual dos dois papéis predomina.

Quando $\Delta_{\pi}(x)$ é positivo, há mais estabilizadores do que estruturadores. Quando é negativo, a capacidade de estruturação domina. Quando se anula, há um equilíbrio momentâneo.

Nada além disso é afirmado aqui.

O PULSO

Ao calcular $\Delta_\pi(x)$ ao longo da reta numérica, algo inesperado acontece.

O valor não cresce suavemente, nem decai monotonamente. Ele **oscila**.

Essas oscilações não são aleatórias. Elas seguem um padrão irregular, mas persistente, que se repete à medida que a escala aumenta. Após os primeiros valores, observa-se uma predominância clara da fase negativa — sinal de que, em média, a estrutura supera a estabilização.

Essa predominância negativa é o registro aritmético do fato de que os primos tornam-se mais esparsos à medida que avançamos: a primeira metade sempre terá acumulado mais potencial estruturante do que a segunda metade consegue equilibrar.

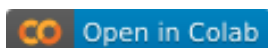
Esse comportamento pode ser descrito como um **pulso observacional**: uma alternância mensurável entre duas forças complementares, derivadas exclusivamente da contagem dos primos.

Não há aqui estatística, espectro ou caos no sentido técnico. Há apenas um sinal discreto, obtido sem aproximações.

O REGISTRO VISUAL

Neste ponto, a abstração da fórmula deve ceder lugar à evidência visual.

O **Notebook 02** (`02_pi_e_delta_pi.ipynb`) foi desenhado para este fim.



Ao executá-lo, você verá o gráfico de $\Delta_\pi(x)$ emergir. Observe a natureza do sinal: ele é um sinal em escada discreta, seco e implacável. Observe como as forças azuis (estrutura) e laranjas (estabilização) disputam o domínio da reta numérica. Não há curvas suaves aqui, apenas o registro bruto de cada novo primo que entra no sistema, alterando o equilíbrio entre estruturadores e estabilizadores.

Aumente o intervalo. Note como as oscilações parecem ganhar uma "textura". O que antes parecia um erro de contagem revela-se um padrão de alternância. É este o sinal que chamamos de pulso.

O PAPEL DO UM

É impossível não notar um aspecto curioso dessa construção.

O valor 1 sustenta toda a sequência, mas não participa diretamente de nenhuma das relações medidas por $\Delta_\pi(x)$. Ele não estrutura. Ele não estabiliza.

O Um atua como a **referência de fase** do sistema. Ele é o elemento neutro que permite a dobra, mas é a partir do 2 que a **assimetria funcional** (estruturador vs. estabilizador) se manifesta como um sinal observável.

A primeira relação efetiva surge com o 2. É com ele que a duplicação começa. É a partir dele que a dobra passa a produzir efeitos observáveis.

Os vazios criados pela dobra são preenchidos em unidades de 1, mas apenas números maiores que 1 assumem papéis estruturais dentro do sistema.

Esse fato não é interpretado aqui. Ele é apenas registrado.

UM SINAL, NÃO UMA TEORIA

É fundamental manter a disciplina metodológica.

Até este ponto:

- não formulamos hipóteses probabilísticas;
- não introduzimos modelos estatísticos;
- não recorremos a limites assintóticos;
- não fizemos qualquer interpretação espectral.

Construímos um funcional simples e observamos o seu comportamento.

*O que aparece não é ruído. É um sinal determinístico, nascido da regra mais elementar da aritmética: **a repetição da Unidade**.*

PREPARAÇÃO PARA O PRÓXIMO PASSO

Este capítulo encerra a fase da **medida direta**.

Nos próximos capítulos, esse sinal será:

- visualizado de forma contínua;
- projetado em operadores simétricos;
- analisado sob diferentes regimes de observação.

Nada novo será acrescentado ao sistema. Apenas mudaremos a forma de olhar.

Mas tudo o que virá depois — inclusive qualquer leitura espectral — depende deste pulso inicial, silencioso e incontornável, que nasce quando dobramos a reta e contamos com atenção.

PONTO DE REPOUSO

A função aritmética $\Delta_\pi(x) = \pi(x) - 2\pi(x/2)$ não descreve uma distribuição, mas um desbalanceamento funcional. Ela torna visível a alternância entre dois papéis complementares exercidos pelos primos ao longo do intervalo observado.

Os primos não atuam de forma homogênea. Em certos regimes, estruturam a malha dos compostos; em outros, estabilizam a densidade da reta. Dessa alternância emerge um pulso, não como ruído, mas como expressão de uma dinâmica interna.

O sistema, portanto, não é estático. Ele redistribui funções sem perder coerência, e é essa redistribuição — não os valores isolados — que sustenta a estrutura observada.

3. A BUSCA PELO EQUILÍBRIO

*A simetria é a ideia pela qual o homem, através dos tempos,
tentou compreender e criar ordem, beleza e perfeição.*

— Hermann Weyl

O PARADOXO DA DÍVIDA CRESCENTE

No capítulo anterior, observamos o pulso do sistema, $\Delta_\pi(x)$. Vimos que, após uma breve fase inicial de euforia (valores positivos), a curva mergulha em um vale de valores negativos — e esse vale parece aprofundar-se à medida que x cresce.

À primeira vista, isso soa paradoxal. Se a diferença absoluta entre Estruturadores (π_S) e Estabilizadores (π_N) cresce indefinidamente, o sistema não estaria cada vez mais **desequilibrado**? A “dívida” dos primos estabilizadores nunca seria paga?

Essa impressão é apenas parcial. O aparente desequilíbrio é um **efeito de escala**, e não de ruptura.

A PERSPECTIVA ADEQUADA: HARMONIA RELATIVA

Para compreender sistemas que crescem indefinidamente, não basta observar diferenças absolutas — é preciso adotar uma **perspectiva relativa**. Lembremos que o número total de primos é a soma das duas forças:

$$\pi(x) = \pi_S(x) + \pi_N(x)$$

Dividindo ambos os membros por $\pi(x)$, obtemos uma identidade simples e profunda, que chamamos de **Identidade de Conservação dos Primos**:

$$1 = \frac{\pi_S(x)}{\pi(x)} + \frac{\pi_N(x)}{\pi(x)}$$

Esta equação nos diz que, embora as contagens absolutas variem, as frações de Estruturadores e Estabilizadores **sempre somam exatamente 1**. São duas faces de um mesmo equilíbrio dinâmico.

O Teorema dos Números Primos garante que, à medida que $x \rightarrow \infty$, ambas as frações convergem para o mesmo valor: $1/2$. A estrutura e a estabilidade tornam-se, em termos de densidade estatística, equivalentes. Revisitando nossa medida de tensão, $\Delta_\pi(x)$, podemos reescrevê-la em sua forma normalizada:

$$\frac{\Delta_\pi(x)}{\pi(x)} = \frac{\pi_N(x)}{\pi(x)} - \frac{\pi_S(x)}{\pi(x)}$$

Se cada termo tende a $1/2$, a diferença tende a zero. A “dívida” entre as duas forças pode crescer em termos absolutos, mas, *relativamente ao todo*, ela se dilui. O sistema, visto sob a ótica da proporção, caminha inexoravelmente para o equilíbrio.

LABORATÓRIO INTERATIVO: A CONVERGÊNCIA

O **Notebook 03** (`03_busca_equilibrio.ipynb`) documenta experimentalmente esta transição.



Ao executá-lo, o leitor observará dois fenômenos simultâneos:

- **A Atração da Simetria:** As curvas de densidade de Estruturadores e Estabilizadores aproximam-se da linha crítica de $1/2$.
- **O Amortecimento:** A oscilação relativa, intensa nos valores iniciais, perde amplitude e converge para o zero.

UM SISTEMA QUÂNTICO DISFARÇADO?

As oscilações de $\Delta_\pi(x)/\pi(x)$ lembram o comportamento de um sistema quântico relaxando em direção ao equilíbrio. As duas forças — Estruturadora e Estabilizadora — comportam-se como estados de um sistema de dois níveis, trocando energia até a simetria se restabelecer.

Uma mudança adequada de escala desempenha um papel análogo ao de um tempo interno, em que o caos inicial dá lugar à ordem espectral. Visto sob essa lente, a reta numérica não é estática — é um campo oscilatório cuja harmonia final emerge exatamente do conflito que a gerou.

O que parecia um descompasso infinito revela-se, afinal, uma harmonia que cresce com a própria escala. O caos inicial não é erro — é o preço da expansão.

PONTO DE REPOUSO

A tensão $\Delta_\pi(x)$ não é uma grandeza absoluta. Ela só adquire significado quando observada em relação à massa total de primos $\pi(x)$, que define a escala natural do sistema.

Quando normalizada dessa forma, a dinâmica interna revela um comportamento inequívoco: a redistribuição funcional não diverge, mas converge para um regime estável, no qual os papéis estruturador e estabilizador ocupam proporções simétricas.

O equilíbrio aqui não é ausência de movimento, mas o regime para o qual o movimento converge.

4. O ESPECTRÔMETRO HARMÔNICO

*A estrutura revela-se quando
escolhemos a representação correta.
— Hermann Weyl*

DO SINAL À ESTRUTURA

Nos capítulos anteriores, identificamos um objeto central: o sinal aritmético $\Delta_\pi(x)$.

Ele mede, ponto a ponto, o desbalanceamento entre dois papéis funcionais dos primos — estruturar e estabilizar — como observado no Capítulo 2, ao longo da reta numérica. Esse sinal revelou um comportamento oscilatório persistente, que chamamos de *pulso*.

Mas há um limite intrínseco ao que um sinal unidimensional pode revelar.

Um pulso indica que algo acontece. Ele não descreve a forma completa do acontecimento.

Se desejamos compreender correlações internas e padrões globais, precisamos abandonar a leitura puramente sequencial e projetar o sinal em uma estrutura onde interferências possam ocorrer.

Em termos matemáticos: **um sinal unidimensional pode ser medido; uma estrutura exige projeção.**

É esse salto de regime que marca o início desta parte do livro.

A NECESSIDADE DE UM OPERADOR

Autovalores, modos coletivos e regularidades espectrais não pertencem a funções isoladas. Eles pertencem a **operadores**.

Para extrair informação estrutural do pulso $\Delta_\pi(x)$, não basta suavizá-lo, acumulá-lo ou reescalá-lo. É necessário colocá-lo em interação consigo mesmo — construir um objeto bidimensional capaz de registrar correlações cruzadas entre diferentes pontos da reta numérica.

Esse objeto será uma matriz.

Não uma matriz estatística, nem uma matriz aleatória, mas um operador determinístico, construído exclusivamente a partir de:

- contagem exata de primos;
- mudança explícita de escala;
- simetrização estrutural.

O que buscamos não é previsão, mas observabilidade.

DEFINIÇÃO DO OPERADOR HARMÔNICO

Definimos o operador M por seus elementos M_{ij} :

$$M_{ij} = \cos(\Delta_\pi(x_i) \ln(x_j)) + \cos(\Delta_\pi(x_j) \ln(x_i)).$$

Cada termo dessa expressão tem uma função precisa:

- $\Delta_\pi(x)$ fornece o sinal aritmético;
- $\ln(x)$ ajusta a escala de observação;
- o cosseno converte o produto em fase harmônica;
- a soma garante simetria explícita.

Nada é ajustado, filtrado ou normalizado neste estágio além do que é estruturalmente necessário.

O operador é definido — não calibrado.

A ESCALA ADEQUADA

Os números primos são entidades essencialmente multiplicativas. Sua densidade decai segundo uma lei logarítmica, como estabelece o Teorema dos Números Primos.

Observar a aritmética em escala linear é conveniente, mas não neutro. A escala linear distorce relações que são naturalmente multiplicativas.

O uso do logaritmo não é uma escolha estética. É uma exigência de compatibilidade estrutural.

O fator $\ln(x)$ atua como uma lente: ele reexpressa a reta numérica em uma escala onde as relações internas dos primos tornam-se comparáveis e estáveis ao longo do domínio observado.

Sem essa lente, o operador perde coerência. Com ela, o operador torna-se observável de forma estável.

O KERNEL HARMÔNICO

O cosseno desempenha um papel duplo.

Primeiro, ele transforma o produto $\Delta_\pi(x) \ln(x)$ em uma oscilação limitada, traduzindo a tensão aritmética em fase.

Segundo, por ser uma função par, ele elimina a distinção entre sinais opostos. O operador não mede direção — mede *intensidade de correlação*.

Valores positivos e negativos contribuem igualmente para o operador.

O objetivo aqui não é rastrear flutuações locais, mas permitir a observação de padrões globais.

SIMETRIA E OBSERVABILIDADE

O operador é construído de forma explicitamente simétrica:

$$M_{ij} = M_{ji}.$$

Essa escolha não é técnica, mas conceitual.

Na matemática, operadores simétricos possuem uma propriedade fundamental: **todos os seus autovalores são reais**.

Essa condição assegura que o espectro do operador vive inteiramente na reta real, tornando-o adequado à análise espectral.

Estamos, portanto, construindo um operador aritmético cuja estrutura espectral pode ser investigada de forma rigorosa.

O operador M não é alimentado por uma versão normalizada de Δ_π , mas pelo sinal bruto de sua divergência acumulada.

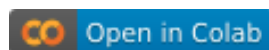
São os degraus discretos de $\pi(x) - 2\pi(x/2)$, enquanto eventos aritméticos globais, que geram coerência espectral sob projeção.

A estatística emergente não decorre de flutuações relativas, mas da geometria descontínua da contagem de primos.

Nada além disso é afirmado neste estágio.

O LABORATÓRIO VISUAL

O **Notebook 04** (04_operador_M.ipynb) implementa diretamente o operador M e permite visualizar sua estrutura como um mapa de calor, para diferentes escalas iniciais X_0 .



Ao executá-lo, observe atentamente:

- Em escalas pequenas, o operador apresenta aspecto irregular, fragmentado e ruidoso.
- À medida que X_0 aumenta, padrões geométricos começam a surgir.
- A aparência fragmentada inicial dá lugar a regiões visualmente organizadas.

Nenhuma transformação adicional é aplicada. A única variável é a escala.

A visualização não prova nada. Ela apenas indica que uma organização não trivial está presente.

DELIMITAÇÃO DO ESCOPO

Neste capítulo, realizamos uma transição fundamental:

- do sinal para o operador;
- da sequência para a geometria;
- da contagem para a estrutura.

O espectrômetro está construído.

Nos próximos capítulos, abandonaremos a inspeção visual e aplicaremos ferramentas formais de análise espectral — autovalores, espaçamentos e modos próprios — para quantificar regularidades espectrais, se presentes.

Nada será acrescentado ao sistema.

PONTO DE REPOUSO

Até este ponto, apenas o essencial foi estabelecido.
Um operador determinístico foi construído a partir de $\Delta_\pi(x)$.

Nenhuma estatística foi calculada.
Nenhuma hipótese espectral foi assumida.
Apenas a estrutura geométrica do operador foi examinada.

O espectrômetro está definido.
A análise ainda não começou.

5. A MECÂNICA DO ESPECTRO

*Autovalores não são propriedades dos números,
mas dos operadores.
— John von Neumann*

RECAPITULAÇÃO OPERACIONAL

Nos capítulos anteriores, foi construído um operador determinístico M a partir do sinal aritmético $\Delta_\pi(x)$ e de uma mudança explícita de escala logarítmica.

Esse operador foi introduzido como objeto geométrico e visual, sem qualquer análise espectral.

O objetivo deste capítulo é **descrever formalmente** os elementos básicos da análise espectral aplicada ao operador M , em um regime completamente controlado.

Nada novo será introduzido. Apenas ferramentas necessárias serão definidas.

UM DOMÍNIO FINITO E CONTROLADO

Antes de avançar para escalas grandes, é instrutivo trabalhar em um domínio pequeno, onde todos os objetos possam ser inspecionados diretamente.

Neste capítulo, fixamos:

$$N = 32,$$

e consideramos o domínio discreto

$$x \in \{1, 2, \dots, 32\}.$$

Essa escolha não possui significado teórico. Ela permite apenas que todos os componentes do operador sejam explicitamente calculados e examinados.

PREPARAÇÃO DOS DADOS DE ENTRADA

O **Notebook 05** (`05_mecanica_espectro.ipynb`) inicia gerando, para cada $x \leq 32$:

- o valor do sinal aritmético $\Delta_\pi(x)$;
- o valor correspondente de $\ln(x)$.



Esses dados constituem os únicos insumos do operador. Nenhuma filtragem, suavização ou normalização adicional é aplicada.

CONSTRUÇÃO EXPLÍCITA DO OPERADOR

Com os vetores $\Delta_\pi(x)$ e $\ln(x)$ definidos, o operador M é construído diretamente pela fórmula:

$$M_{ij} = \cos(\Delta_\pi(x_i) \ln(x_j)) + \cos(\Delta_\pi(x_j) \ln(x_i)).$$

Para $N = 32$, isso resulta em uma matriz real, simétrica, de dimensão 32×32 .

O mapa de calor apresentado no **Notebook 05** permite visualizar a organização interna do operador nesse regime finito.

Nenhuma interpretação é associada a essa visualização. Ela apenas confirma que o operador está bem definido e estruturalmente não trivial.

AUTOVALORES E AUTOVETORES: DEFINIÇÕES MÍNIMAS

Seja M uma matriz real e simétrica.

Um número real λ é chamado autovalor de M se existir um vetor não nulo v tal que:

$$Mv = \lambda v.$$

O vetor v correspondente é chamado autovetor.

Esses objetos não são introduzidos como analogias físicas. Eles constituem a decomposição canônica de operadores simétricos em espaços reais.

O ESPECTRO DO OPERADOR EM DIMENSÃO FINITA

O **Notebook 05** calcula explicitamente:

- o conjunto completo de autovalores de M ;
- os autovetores associados.

Para $N = 32$, o espectro é discreto e finito. Todos os autovalores são reais, como garantido pela simetria do operador.

A ordenação desses autovalores e a inspeção dos autovetores permitem verificar que:

- o operador admite uma base espectral completa;
- diferentes modos espectrais correspondem a diferentes padrões de distribuição nos índices i .

Neste ponto, nenhuma estatística é calculada. Nenhuma regularidade é postulada.

LIMITES DO REGIME FINITO

A análise em $N = 32$ não tem como objetivo revelar leis universais. Ela serve para:

- fixar definições;
- validar a construção do operador;
- estabelecer o vocabulário espectral que será usado adiante.

O comportamento relevante do espectro não se manifesta plenamente em domínios tão pequenos.

Para isso, será necessário estudar:

- a variação do espectro com o tamanho do domínio;
- a dependência em relação à escala inicial X_0 .

DELIMITAÇÃO DO ESCOPO

Neste capítulo:

- o operador M foi diagonalizado explicitamente;
- autovalores e autovetores foram definidos e calculados;
- nenhuma estatística espectral foi analisada;
- nenhuma hipótese universal foi formulada.

O operador permanece inalterado. A mudança ocorrerá exclusivamente no regime de observação.

PONTO DE REPOUSO

Até este ponto, a análise espectral foi introduzida formalmente. O operador foi estudado em dimensão finita. Todas as ferramentas necessárias estão agora definidas.

No próximo capítulo, essas ferramentas serão aplicadas de forma sistemática a domínios crescentes, permitindo observar como o espectro do operador responde à mudança de escala.

Nada será assumido. Tudo será medido.

6. ESTATÍSTICAS ESPECTRAIS E REGIMES DE ESCALA

*A informação relevante não está nos níveis,
mas nos intervalos entre eles.
— Freeman Dyson*

INTRODUÇÃO OPERACIONAL

Nos capítulos anteriores, foi construído um operador determinístico M e foi introduzida sua decomposição espectral em regimes finitos.

Neste capítulo, o foco se desloca do valor individual dos autovalores para as **relações estatísticas entre eles**.

O objetivo é definir e aplicar medidas que permitam caracterizar o comportamento coletivo do espectro do operador M quando o domínio é ampliado e quando a escala inicial X_0 , que entra explicitamente na definição do operador, é deslocada ao longo da reta numérica.

Nenhuma hipótese de universalidade é assumida. As ferramentas são introduzidas antes de qualquer interpretação.

DO ESPECTRO DISCRETO AO REGIME ESTATÍSTICO

Em dimensão finita, o espectro de M consiste em um conjunto discreto e ordenado de autovalores reais:

$$\lambda_1 \leq \lambda_2 \leq \dots \leq \lambda_n.$$

À medida que N cresce, torna-se natural investigar não apenas os valores absolutos desses autovalores, mas também a **estrutura estatística dos espaçamentos entre eles**.

Essas relações são sensíveis a correlações internas do operador e constituem o objeto central da análise a seguir.

ESPAÇAMENTOS NORMALIZADOS

Definimos os espaçamentos consecutivos:

$$s_i = \lambda_{i+1} - \lambda_i.$$

Para permitir comparação entre diferentes escalas e tamanhos de matriz, os espaçamentos são normalizados pela média local:

$$\hat{s}_i = \frac{s_i}{\langle s \rangle}.$$

A distribuição empírica desses valores fornece uma primeira caracterização estatística do espectro.

Neste ponto, nenhuma forma teórica é postulada.

A DISTRIBUIÇÃO DOS ESPAÇAMENTOS $P(s)$

A função $P(s)$ é definida como o histograma dos espaçamentos normalizados \hat{s}_i .

Ela descreve a frequência relativa de diferentes separações entre autovalores consecutivos e permite distinguir entre regimes com ou sem correlação espectral significativa.

O **Notebook 06** (`06_regimes_de_escala_e_estatisticas_espectrais.ipynb`) calcula $P(s)$ para diferentes valores de N e X_0 , mantendo fixa a definição do operador.



A distribuição observada será analisada apenas de forma comparativa nos capítulos seguintes.

RAZÃO DE ESPAÇAMENTOS ADJACENTES

Para reduzir a dependência de reescala explícita, introduz-se a razão entre espaçamentos adjacentes:

$$r_i = \frac{\min(s_i, s_{i+1})}{\max(s_i, s_{i+1})}.$$

Essa quantidade é limitada ao intervalo $[0, 1]$ e permite definir uma estatística escalar simples, dada por:

$$\langle r \rangle = \frac{1}{N-2} \sum_{i=1}^{N-2} r_i,$$

onde a soma é tomada sobre os índices i do *bulk* espectral, excluindo regiões extremas do espectro.

O valor médio $\langle r \rangle$ fornece um indicador compacto do grau de correlação entre autovalores consecutivos.

Neste capítulo, essa estatística é apenas **definida como ferramenta conceitual**.

VARIÂNCIA NUMÉRICA $\Sigma^2(L)$

Uma terceira medida estatística considera a flutuação do número de autovalores em intervalos de comprimento L .

Define-se $\Sigma^2(L)$ como a variância do número de autovalores contidos em janelas espectrais de comprimento L , após normalização adequada.

Essa medida fornece informação complementar sobre a rigidez global do espectro.

O **Notebook 06** implementa somente o cálculo de $P(s)$ para uma escala estrutural e uma observação de contraste. As estatísticas $\langle r \rangle$ e $\Sigma^2(L)$ são introduzidas aqui como ferramentas conceituais. Sua implementação operacional será realizada em notebooks posteriores.

REGIMES DE ESCALA E PROTOCOLO EXPERIMENTAL

Todas as estatísticas introduzidas dependem de dois parâmetros fundamentais:

- o tamanho do operador, N ;
- a escala inicial de observação, X_0 .

Neste capítulo, as ferramentas estatísticas são aplicadas sistematicamente para investigar como o espectro de M responde à variação desses parâmetros.

Nenhuma interpretação é associada aos resultados neste ponto. O foco permanece na definição do protocolo e na consistência das medições.

Ressalta-se que eventuais regularidades estatísticas observadas não são atribuídas a propriedades intrínsecas da sequência aritmética, mas ao operador construído a partir dela.

DELIMITAÇÃO DO ESCOPO

Neste capítulo:

- foram introduzidas estatísticas espectrais fundamentais;
- as medidas foram aplicadas ao operador M ;
- a dependência em relação a N e X_0 foi explicitada;
- nenhuma classe universal foi nomeada;
- nenhuma explicação física foi proposta.

As observações permanecem estritamente descritivas. O que foi construído até aqui não é uma interpretação do espectro, mas um vocabulário para descrevê-lo.

PONTO DE REPOUSO

Até aqui, o operador foi construído e sua decomposição espectral foi formalmente definida. As estatísticas relevantes foram introduzidas, mas o protocolo experimental ainda não está completo.

O conjunto mínimo de ferramentas necessárias para confrontar o comportamento observado com classes espectrais conhecidas encontra-se agora estabelecido.

A leitura e a interpretação desses resultados serão tratadas separadamente, apenas após a execução sistemática das medições.

7. RECONHECIMENTO DE UMA CLASSE UNIVERSAL

*A matemática possui uma adequação inexplicável
às estruturas da natureza.
— Eugene P. Wigner*

O QUE MUDA AO ATRAVESSAR A FRONTEIRA

Até aqui, o procedimento foi estritamente construtivo.

Um sinal aritmético foi definido, uma mudança de escala foi fixada e um operador determinístico M foi construído por simetrização explícita. Em seguida, o espectro desse operador foi medido e um protocolo estatístico completo foi estabelecido.

O ponto decisivo é que nada disso requereu hipóteses probabilísticas, amostragem estocástica ou modelos aleatórios. O operador permaneceu o mesmo. O que variou foi apenas o regime de observação.

Ao iniciar esta parte do livro, ocorre uma mudança de estatuto: as estatísticas medidas deixam de ser apenas registros descritivos e passam a ser confrontadas com classes espectrais conhecidas.

Essa comparação não introduz novos objetos. Ela introduz apenas um vocabulário de reconhecimento.

CLASSES ESPECTRAIS COMO PADRÕES DE REFERÊNCIA

Em análise espectral, certas famílias de operadores exibem comportamentos estatísticos robustos, estáveis e recorrentes. Quando um espectro apresenta assinaturas estatísticas estáveis sob variações de tamanho e escala, diz-se que ele é compatível com uma classe universal.

Duas classes de referência serão usadas neste capítulo:

- a classe *não correlacionada*, associada a espectros cujos espaçamentos se comportam como variáveis aproximadamente independentes (frequentemente modelada por uma lei exponencial);

- a classe *correlacionada com repulsão local*, associada a espectros com supressão de espaçamentos muito pequenos e rigidez estatística global (cujo protótipo é o *Ensemble Ortogonal Gaussiano*, GOE).

A introdução dessas classes não é uma hipótese sobre M . Ela é um instrumento para interpretar medições já realizadas.

A PRIMEIRA ASSINATURA: REPULSÃO DE NÍVEIS

Consideremos a distribuição empírica $P(s)$ dos espaçamentos normalizados, definida no capítulo anterior.

O **Notebook 07** (`07_autovalores_reconhecimento_GOE.ipynb`) permite observar que, para valores suficientemente grandes de N e para escalas iniciais elevadas X_0 , a densidade empírica passa a apresentar uma característica determinante: a probabilidade de espaçamentos muito pequenos torna-se fortemente suprimida.



Em termos descritivos, $P(s)$ aproxima-se de uma forma que:

- é aproximadamente nula em $s = 0$;
- cresce a partir de 0 até um máximo em $s > 0$;
- decai para espaçamentos maiores.

Esse padrão não é compatível com espectros não correlacionados. Ele é a assinatura mínima de repulsão local entre autovalores.

A ESTATÍSTICA ESCALAR E O VALOR DE REFERÊNCIA

A razão entre espaçamentos adjacentes,

$$r_i = \frac{\min(s_i, s_{i+1})}{\max(s_i, s_{i+1})},$$

produz um número médio $\langle r \rangle$ que resume o grau de correlação local do espectro.

O ponto crítico é que, para classes universais, $\langle r \rangle$ assume valores característicos.

Em particular, para a GOE, a literatura estabelece um valor de referência aproximadamente constante:

$$\langle r \rangle_{\text{GOE}} \approx 0.536$$

enquanto para espectros não correlacionados o valor típico é substancialmente menor:

$$\langle r \rangle_{\text{nc}} \approx 0.386$$

Ao aplicar o protocolo do **Notebook 07** ao operador M , observa-se que, em regimes adequados de N e X_0 , o valor medido de $\langle r \rangle$ aproxima-se sistematicamente do valor de referência da classe GOE.

Essa aproximação é robusta sob variações moderadas de parâmetros do protocolo (*bulk*, janela logarítmica e perturbações numéricas mínimas), indicando que não se trata de uma coincidência localizada.

RIGIDEZ GLOBAL DO ESPECTRO

A repulsão local entre níveis é apenas uma parte da assinatura universal.

Uma segunda característica, independente, é a rigidez estatística: a flutuação do número de autovalores em intervalos espectrais cresce de forma muito mais lenta do que em espectros não correlacionados.

A variância numérica $\Sigma^2(L)$, definida no capítulo anterior, mede exatamente essa flutuação.

O **Notebook 07** demonstra que, para regimes em que $P(s)$ apresenta supressão em $s = 0$ e $\langle r \rangle$ se aproxima do valor de referência da GOE, a curva empírica de $\Sigma^2(L)$ abandona o crescimento linear ($\Sigma^2(L) \sim L$) — característico de sistemas do tipo Poisson — para assumir um **crescimento logarítmico** ($\Sigma^2(L) \sim \ln(L)$).

Essa transição constitui uma evidência robusta da rigidez espectral do operador M . Ela indica que os níveis não apenas se repelem localmente, mas preservam correlações de longo alcance que estabilizam a estrutura do sistema.

Duas estatísticas independentes — local ($P(s)$) e global ($\Sigma^2(L)$) — convergem, assim, para o reconhecimento da mesma classe universal.

DETERMINISMO E UNIVERSALIDADE

Há um aspecto que merece ser explicitado.

A GOE é tradicionalmente introduzido como um ensemble aleatório de matrizes simétricas reais. A universalidade observada nesse contexto refere-se ao fato de que muitas famílias de operadores, sob condições amplas, exibem as mesmas estatísticas no *bulk* espectral.

No presente trabalho, o operador M não é aleatório. Ele é construído deterministicamente a partir de uma função aritmética elementar e de uma mudança de escala fixa.

O ponto observado aqui é, portanto, mais restrito e mais concreto:

um operador determinístico, construído exclusivamente a partir de contagem de primos e simetrização, pode exibir estatísticas espectrais compatíveis com a classe universal GOE.

Nada além disso é reivindicado.

O que esta observação estabelece é um fato experimental: a classe universal pode emergir sem que qualquer aleatoriedade externa seja injetada no procedimento.

Sempre que estatísticas da classe GOE são mencionadas neste trabalho, elas devem ser entendidas como emergentes de um regime estrutural específico, caracterizado pela preservação de simetria e reversibilidade do operador construído, sob a escala de observação adequada.

Não se reivindica aqui universalidade no sentido dinâmico usual da literatura em caos quântico, nem evidência de caos determinístico no sentido clássico ou semiclasicamente hiperbólico.

Os resultados apresentados devem ser interpretados como um diagnóstico espectral de coerência estrutural, condicionado ao alinhamento entre a arquitetura do operador e a régua de observação empregada.

PARÂMETROS DO PROTOCOLO E ESTABILIDADE DO FENÔMENO

Para evitar que o reconhecimento da classe universal dependa de escolhas arbitrárias, é necessário explicitar quais parâmetros do protocolo afetam o resultado e em que sentido.

No **Notebook 07** (`07_autovalores_reconhecimento_GOE.ipynb`), três parâmetros exercem papel dominante:

- `span`, que controla a extensão da janela logarítmica e, portanto, a variabilidade interna do sinal amostrado;
- `jitter`, que introduz uma perturbação numérica mínima, reduzindo efeitos artificiais de alinhamento;
- `alpha`, que define o *bulk* analisado, minimizando efeitos de borda.



O fenômeno relevante não é a obtenção de um valor exato em uma configuração única, mas a estabilidade qualitativa das assinaturas (repulsão local, valor de $\langle r \rangle$ e rigidez) sob variações moderadas desses parâmetros.

Quando essa estabilidade se observa, o reconhecimento de classe deixa de ser uma coincidência e passa a ser um diagnóstico.

DELIMITAÇÃO DO QUE FOI RECONHECIDO

É essencial manter a distinção entre três níveis:

1. **Construtivo** — M foi definido por uma expressão explícita e determinística.
2. **Observacional** — estatísticas espectrais foram medidas em regimes grandes de N e em escalas elevadas X_0 .
3. **Classificatório** — as assinaturas medidas foram comparadas com padrões universais conhecidos.

O terceiro nível não altera os dois primeiros. Ele apenas nomeia um comportamento observado.

Neste capítulo, o comportamento reconhecido é o pertencimento estatístico do espectro do operador M , em regimes adequados, à classe universal GOE.

Observe que o operador M , ao preservar simetria e exibir retorno estrutural sob mudança de escala, comporta-se como um dispositivo de reflexão aritmética.

PONTO DE REPOUSO

Até aqui, o protocolo estatístico foi aplicado ao espectro do operador M em regimes progressivamente ampliados.

Múltiplas estatísticas independentes convergiram de forma consistente para a mesma classe espectral.

O comportamento observado foi identificado como compatível com a classe GOE. Nenhum novo objeto foi introduzido. Nenhuma hipótese adicional foi assumida.

No próximo capítulo, investigaremos como esse diagnóstico se comporta sob varreduras sistemáticas de escala e sob modificações controladas do operador, delimitando as condições mínimas para a emergência da universalidade observada.

8. A ÓTICA ADEQUADA: POR QUE A ESCALA LOGARÍTMICA É ESTRUTURAL

*A geometria não é verdadeira;
ela é conveniente.
— Henri Poincaré*

DO FENÔMENO À NECESSIDADE

No capítulo anterior, um fato experimental foi estabelecido com clareza:

o mesmo operador determinístico M , construído sobre a mesma região aritmética, exibe estatísticas espectrais radicalmente distintas quando observado sob escalas diferentes.

A amostragem linear revelou um regime estatístico compatível com descorrelação local, enquanto a amostragem logarítmica conduziu sistematicamente à emergência de correlações universais.

Esse contraste não foi apresentado como um paradoxo, mas como um **efeito ótico**: duas lentes, duas leituras possíveis do mesmo objeto.

Neste capítulo, o objetivo é abandonar a metáfora e responder à pergunta inevitável:

por que a lente logarítmica não é apenas eficaz, mas estruturalmente necessária?

A ESCALA COMO PARTE DO OBJETO

Até aqui, a escala foi tratada como um parâmetro externo: uma escolha do observador. Esse ponto de vista é agora insuficiente.

No contexto da aritmética dos primos, a escala **não é neutra**. Ela está embutida no próprio objeto observado.

Desde Gauss, sabe-se que a densidade média de primos em torno de x decresce como:

$$\frac{1}{\ln(x)}.$$

Isso significa que a reta numérica **não é homogênea** do ponto de vista da estrutura prima. Regiões afastadas do Um não são apenas “maiores”: elas são estruturalmente mais rarefeitas.

Consequentemente, uma régua linear não mede adequadamente esse espaço. Ela comprime regiões densas e dilui regiões rarefeitas, distorcendo qualquer tentativa de leitura global.

A escala logarítmica, por outro lado, atua como uma **mudança de coordenadas natural**: ela reparametriza o eixo de forma que a variação média da densidade prima se torne aproximadamente uniforme.

O PAPEL DE $\Delta_\pi(x)$ SOB REPARAMETRIZAÇÃO

O operador M não depende diretamente de $\pi(x)$, mas de sua combinação oscilatória:

$$\Delta_\pi(x) = \pi(x) - 2\pi(x/2).$$

Esse funcional captura exatamente o desvio local em relação ao comportamento médio esperado.

O ponto crucial é que:

- sob uma parametrização linear restrita, $\Delta_\pi(x)$ varia de forma quase monótona em janelas restritas;

- sob uma parametrização logarítmica ampla, $\Delta_\pi(x)$ atravessa regimes com flutuações de múltiplas escalas.

Assim, a diferença observada no espectro de M **não nasce no operador**, mas na forma como o argumento do operador percorre a estrutura aritmética.

A lente linear reduz a variabilidade efetiva do sinal. A lente logarítmica restabelece sua diversidade de fases.

COMPLEXIDADE EFETIVA E MISTURA DE FASES

A matriz

$$M_{ij} = \cos(\Delta_\pi(x_i) \ln(x_j)) + \cos(\Delta_\pi(x_j) \ln(x_i))$$

é, por construção, simétrica e determinística.

No entanto, o seu grau de complexidade efetiva depende da diversidade de fases presentes nos termos $\Delta_\pi(x_i) \ln(x_j)$.

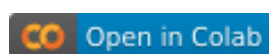
- Em janelas lineares estreitas, essas fases são altamente correlacionadas.
- Em janelas logarítmicas amplas, ocorre uma **mistura de fases** comparável àquela observada em sistemas caóticos determinísticos.

O que o espectro “reconhece” não é aleatoriedade, mas **riqueza de interferência**.

A universalidade não emerge porque o sistema é aleatório, mas porque ele é suficientemente complexo sob a escala adequada.

O EXPERIMENTO ÓTICO

O **Notebook 08** (`08_lente_descoberta.ipynb`) não introduz novos operadores nem novas estatísticas.



Ele realiza apenas uma operação conceitual:

fixa o operador e varia sistematicamente a forma como a reta numérica é percorrida.

Ao fazer isso, ele demonstra que:

- a estatística de Poisson não é um defeito do operador;
- a estatística GOE não é um artefato da normalização;
- ambas são leituras legítimas, mas correspondem a **regimes geométricos distintos**.

A escala atua como um seletor de regime.

O QUE ESTE CAPÍTULO NÃO AFIRMA

É importante registrar explicitamente os limites do que foi estabelecido:

- não se afirma que a escala logarítmica “cria” a universalidade;
- não se afirma que toda função aritmética produziria o mesmo efeito;
- não se afirma que a estatística GOE seja a única possível.

O que se afirma é mais restrito e mais sólido:

quando a estrutura aritmética é observada em sua escala natural, a complexidade necessária para a emergência de universalidade está presente.

PONTO DE REPOUSO

Ao final deste capítulo, a escala deixa de ser um parâmetro técnico e passa a integrar a própria estrutura do problema.

A lente logarítmica é identificada como geometricamente natural para a observação do sinal aritmético.

O contraste entre Poisson e GOE deixa de ser interpretado como mudança de objeto e passa a ser reconhecido como mudança de regime.

Em todos os casos, o operador M permanece determinístico e inalterado.

No próximo capítulo, essa compreensão será levada adiante. Investigaremos quais aspectos do operador são essenciais para a universalidade observada e quais podem ser modificados sem destruí-la, separando estrutura de contingência.

9. A ESCALA LOGARÍTMICA — A LENTE PARA O CAOS

*Meça o que é mensurável
e torne mensurável o que não o é.
— Galileu Galilei*

Um dos resultados centrais deste trabalho é a constatação de que a emergência da estatística do tipo GOE no espectro do operador M não é um fenômeno invariante sob mudanças de escala.

Ao contrário, ela só se manifesta de forma robusta quando o sistema é observado através de uma lente específica: a **escala logarítmica**.

Este capítulo investiga o motivo dessa seletividade. A pergunta não é mais *se* a estatística muda com a escala — isso já foi estabelecido — mas *por que* apenas a escala logarítmica cria as condições necessárias para a emergência do regime correlacionado.

A resposta está na própria geometria da distribuição dos números primos.

A TOPOGRAFIA DOS PRIMOS

A função de contagem de primos $\pi(x)$ descreve a quantidade de números primos menores ou iguais a x . O Teorema dos Números Primos estabelece que, assintoticamente,

$$\pi(x) \sim \frac{x}{\ln(x)}$$

o que implica que a densidade local de primos na reta linear satisfaz

$$\frac{d\pi}{dx} \approx \frac{1}{\ln(x)}.$$

Essa expressão contém uma informação fundamental: **a densidade de primos decai continuamente à medida que x cresce.**

Portanto, qualquer observação feita diretamente na escala linear ocorre sobre um terreno cuja principal característica estrutural é um colapso progressivo da densidade.

VERIFICAÇÃO EMPÍRICA

A estrutura geométrica descrita acima não é apenas assintótica ou conceitual. Ela é verificada diretamente no **Notebook 09** (`09_escala_logaritmica.ipynb`), no qual a densidade empírica de primos é medida e comparada nas escalas linear e logarítmica.



Os gráficos produzidos nesse experimento mostram explicitamente:

- o decaimento contínuo de $d\pi/dx$ na escala linear;
- a transformação desse colapso em uma lei de crescimento suave ao passar para $d\pi/d(\ln x)$.

Essas visualizações fornecem o pano de fundo geométrico necessário para interpretar os regimes espectrais observados nos capítulos anteriores.

A LENTE LINEAR: UM PALCO INSTÁVEL

Quando o sistema é observado em uma parametrização linear, a densidade de estados associada aos primos diminui continuamente. Não existe uma escala local estável: cada intervalo sucessivo contém menos estrutura do que o anterior.

Nesse regime, as flutuações estatísticas mais sutis — aquelas responsáveis por correlações espectrais de longo alcance — ficam submersas em uma tendência dominante de rarefação.

O resultado observacional é direto:

em um palco cuja geometria colapsa continuamente, apenas estatísticas descorrelacionadas sobrevivem.

É por isso que, mesmo após normalização local dos espaçamentos, o espectro do operador M , observado linearmente, exibe estatística do tipo Poisson.

Não se trata de ausência de estrutura no operador, mas de ausência de condições geométricas para a sua manifestação.

A MUDANÇA DE VARIÁVEL E A DENSIDADE LOGARÍTMICA

Consideremos agora a transformação de variável:

$$y = \ln(x).$$

A densidade de primos em relação à nova variável é obtida pela regra da cadeia:

$$\frac{d\pi}{dy} = \left(\frac{d\pi}{dx}\right) \cdot \left(\frac{dx}{dy}\right).$$

Como $dx/dy = x$, segue que:

$$\frac{d\pi}{d(\ln x)} = x \cdot \frac{d\pi}{dx}.$$

Substituindo a aproximação assintótica da densidade linear,

$$\frac{d\pi}{dx} \approx \frac{1}{\ln(x)},$$

obtemos:

$$\frac{d\pi}{d(\ln x)} \approx \frac{x}{\ln(x)}.$$

Essa expressão é fundamental: a função $x/\ln(x)$ é **estritamente crescente**.

O que antes era um colapso contínuo transforma-se agora em uma lei de crescimento suave e previsível.

A LENTE LOGARÍTMICA: A ESTABILIZAÇÃO DO PALCO

A escala logarítmica não torna a densidade dos primos constante. Ela faz algo mais sutil e mais importante: transforma uma degenerescência estrutural em uma geometria regular.

Em vez de uma densidade que tende a zero, obtemos uma densidade que cresce de forma controlada, sem oscilações violentas. Isso cria um pano de fundo estável contra o qual as flutuações podem ser analisadas de forma significativa.

É nesse regime que:

- a função $\Delta_\pi(x)$ exibe flutuações estruturais em múltiplas escalas;
- o operador M torna-se altamente variável;
- o espectro passa a apresentar correlações locais e rigidez global.

A estatística da classe GOE não é criada pela escala logarítmica. Ela é **revelada** por ela.

A CONDIÇÃO DE EMERGÊNCIA

Os experimentos numéricos mostram que a transição do regime não correlacionado para o regime GOE ocorre, de forma sistemática, a partir de escalas iniciais da ordem de:

$$X_0 \approx 10^4 - 10^5.$$

Essa observação ganha agora uma interpretação geométrica clara.

Abaixo dessa região, a distribuição dos primos ainda é dominada por irregularidades discretas e efeitos finitos. Acima dela, a lei assintótica $x/\ln(x)$ passa a governar a densidade de forma robusta.

É nesse ponto que o “palco” se estabiliza. A partir daí, as flutuações — e não a tendência média — passam a dominar a estatística espectral.

SÍNTESE

O papel da escala logarítmica pode agora ser resumido de forma precisa:

- ela não introduz aleatoriedade;
- ela não impõe universalidade;
- ela corrige a geometria do espaço de observação.

Ao alinhar a observação com a escala natural dos primos, a lente logarítmica cria as condições mínimas para que correlações espectrais profundas se tornem visíveis.

A música do caos não surge por acaso. Ela só pode ser ouvida quando o palco está adequadamente construído.

PONTO DE REPOUSO

Até aqui, a distinção entre observação linear e observação logarítmica foi reformulada como um problema geométrico de densidade.

Na escala linear, a densidade de primos decai como $d\pi/dx \approx 1/\ln(x)$, produzindo um pano de fundo estruturalmente instável, no qual as flutuações são continuamente amortecidas pela rarefação do sistema.

Na escala logarítmica, a densidade correspondente, $d\pi/d(\ln x) \approx x/\ln(x)$, transforma esse colapso em uma lei de crescimento suave. O que antes era suprimido pela degenerescência estrutural torna-se observável.

Fica então claro que a lente logarítmica não “cria” universalidade. Ela apenas estabiliza o regime de observação no qual as flutuações podem dominar o comportamento estatístico do operador.

A escala crítica observada ($X_0 \approx 10^4-10^5$) surge, assim, não como um parâmetro arbitrário, mas como o ponto empírico de consolidação do regime assintótico.

O papel da escala está, portanto, isolado: ela determina se o operador é observado sobre um terreno em colapso ou sobre um terreno estabilizado.

No capítulo seguinte, passaremos do diagnóstico geométrico para uma análise operacional. Investigaremos quais perturbações preservam o regime observado e quais o destroem, delimitando de forma explícita as condições mínimas para a persistência da universalidade.

10. AS CONDIÇÕES PARA OUVIR O CAOS

*A ordem é o prazer da razão;
mas a desordem é o deleite da imaginação.*
— Paul Claudel

Nos capítulos anteriores, foram apresentadas evidências consistentes de um fenômeno inesperado: a assinatura estatística associada ao caos quântico — compatível com a classe GOE — emerge diretamente de um operador construído a partir da contagem dos números primos.

Neste capítulo, o objetivo não é ampliar o conjunto de resultados, mas **isolar as condições mínimas** que tornam essa observação possível.

A pergunta orientadora passa a ser:

por que este procedimento funciona, e sob quais hipóteses ele deixa de funcionar?

A resposta não reside em um único artifício técnico, mas na conjugação de três princípios conceituais, que atuam como condições necessárias para que o regime correlacionado se torne audível.

OS TRÊS PILARES DO PROTOCOLO

A metodologia desenvolvida ao longo deste trabalho repousa sobre três pilares complementares. Nenhum deles, isoladamente, é suficiente.

A reta como processo dinâmico

A primeira condição é abandonar a interpretação da reta numérica como um objeto estático e passar a observá-la como um **processo em evolução**.

À medida que o parâmetro x cresce, as propriedades estatísticas do sistema mudam. Essa dependência explícita da escala permite identificar regimes distintos: um regime inicial descorrelacionado, uma região de transição e um regime estabilizado no qual emergem correlações de longo alcance.

Somente sistemas **tratados** como processos, e não como instantâneos, podem exibir esse tipo de estrutura em fases.

O papel ativo do Um

A segunda condição é reconhecer o papel estrutural do *Um* não apenas como axioma lógico, mas como **mecanismo implícito de estabilização aritmética**.

Na construção do operador, o princípio da sucessão (+1) atua continuamente, preenchendo lacunas e contrabalançando a expansão multiplicativa inerente à aritmética dos primos.

É dessa tensão, entre expansão e estabilização, que emerge o sinal observado. Sem o reconhecimento explícito desse papel dinâmico do *Um*, a grandeza medida perde significado operacional.

A lente logarítmica como escala natural

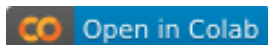
A terceira condição é a escolha adequada da escala de observação.

A escala logarítmica não é uma adequação artificial, nem um refinamento técnico. Ela corresponde à escala natural na qual a densidade dos primos deixa de colapsar e passa a obedecer a uma lei de crescimento suave.

Somente nessa escala o pano de fundo geométrico se estabiliza, permitindo que flutuações estatísticas profundas, e não tendências médias, dominem o comportamento espectral.

VERIFICAÇÃO EMPÍRICA

A interação entre esses três pilares é demonstrada de forma direta no **Notebook 10** (`10_condicoes_caos.ipynb`).



Nesse experimento, dois conjuntos de gráficos são produzidos:

- um gráfico que explicita a estabilização geométrica da densidade de primos quando observada na escala logarítmica;
- um gráfico que acompanha a evolução de uma grandeza de tensão relativa ao longo da reta, evidenciando a transição entre regimes dinâmicos.

O gráfico inferior do notebook materializa o terceiro pilar: o “palco estável” criado pela mudança de variável.

O gráfico superior materializa o primeiro pilar: a leitura dinâmica do sistema, na qual se observa a passagem de um regime instável para um regime de flutuação estabilizada.

A presença simultânea desses dois elementos é condição necessária para que a assinatura do caos se torne observável.

CAUSA E EFEITO

A leitura conjunta dos resultados permite estabelecer uma cadeia causal clara:

- sem escala natural, não há palco estável;
- sem palco estável, não há flutuações dominantes;
- sem flutuações dominantes, não há universalidade observável.

O caos quântico não é produzido por um artifício estatístico, nem injetado por aleatoriedade externa. Ele emerge quando a observação é realizada no regime geométrico adequado, sobre um sistema tratado como processo.

SÍNTESE

A “receita” observacional pode agora ser formulada de forma objetiva:

- observar a reta como um processo dinâmico;
- reconhecer o papel estabilizador do Um ;
- alinhar a observação com a escala natural dos primos.

É **somente** a intersecção rigorosa desses três princípios, e apenas ela, que permite transformar a contagem de primos em um regime observável de estatísticas universais do caos.

PONTO DE REPOUSO

Até aqui, foram isoladas as condições mínimas para a emergência de um regime espectral correlacionado.

Ficou claro que nenhuma delas é suficiente de forma isolada. A escala, o dinamismo do operador e o mecanismo de estabilização atuam de maneira conjunta, e apenas sua articulação produz o comportamento observado.

O **Notebook 10** fornece a verificação empírica direta dessa interdependência, mostrando que a universalidade emerge somente quando essas condições são satisfeitas simultaneamente.

No próximo capítulo, essa articulação será colocada sob tensão. Investigaremos quais perturbações preservam o regime identificado e quais o destroem, delimitando com precisão o domínio de validade da universalidade observada.

11. A ANATOMIA DO CAOS — ANÁLISE DOS AUTOVETORES

*O que observamos não é a natureza em si,
mas a natureza exposta ao nosso método de questionamento.*
— Werner Heisenberg

Nos capítulos anteriores, a análise concentrou-se nos **autovalores** do operador M . Eles forneceram a localização espectral das excitações do sistema e, por meio de suas estatísticas, permitiram distinguir regimes descorrelacionados (Poisson) de regimes correlacionados (GOE).

Neste capítulo, o foco desloca-se para os **autovetores** do operador.

Se os autovalores indicam *onde* as estruturas espectrais se localizam, os autovetores revelam *como* essa complexidade se distribui internamente. Eles codificam os padrões de vibração do sistema e permitem investigar se o regime observado é apenas estatisticamente compatível ou **estruturalmente ergódico**.

PARA ALÉM DOS AUTOVALORES

Em sistemas associados ao caos quântico, não basta que os espaçamentos espectrais exibam repulsão de níveis. É necessário que os autovetores sejam **deslocalizados**, preenchendo o espaço de forma aproximadamente uniforme.

Essa propriedade distingue sistemas genuinamente caóticos de sistemas apenas perturbados ou aleatorizados artificialmente.

Para investigar esse aspecto, introduzimos duas ferramentas complementares:

- o *Participation Ratio*;
- a estatística dos componentes dos autovetores.

FERRAMENTA I — PARTICIPATION RATIO

O *Participation Ratio* (PR) quantifica o grau de espalhamento de um autovetor.

Para um autovetor normalizado $v = (v_1, v_2, \dots, v_n)$, define-se:

$$PR = \frac{(\sum_{i=1}^n |v_i|^2)^2}{\sum_{i=1}^n |v_i|^4}.$$

Seu significado é direto:

- autovetores localizados apresentam PR pequeno, da ordem da unidade;
- autovetores deslocalizados apresentam PR proporcional a N .

Na Teoria de Matrizes Aleatórias, autovetores **típicos do *bulk*** da classe GOE são **ergódicos**. Para eles, a razão normalizada

$$\frac{PR}{N}$$

concentra-se em torno do valor universal

$$\frac{1}{3}.$$

Esse valor constitui uma assinatura estrutural do caos quântico, independente da forma detalhada do operador.

FERRAMENTA II — ESTATÍSTICA DOS COMPONENTES

Uma segunda previsão independente da teoria refere-se à distribuição dos componentes individuais dos autovetores.

Para matrizes da classe GOE, os componentes de um autovetor típico do *bulk* comportam-se como variáveis aleatórias extraídas de uma **distribuição Gaussiana real**, com média nula e variância controlada pela normalização.

Essa previsão pode ser testada diretamente:

- seleciona-se um autovalor do centro do espectro;
- constrói-se o histograma de seus componentes;
- compara-se esse histograma com uma curva Gaussiana teórica;
- quantifica-se a compatibilidade por meio do teste de Kolmogorov–Smirnov.

Um *p*-valor elevado indica que não há evidência estatística para rejeitar a hipótese Gaussiana.

O LABORATÓRIO EMPÍRICO

O **Notebook 11** (`11_anatomia_autovetores.ipynb`) implementa essas duas análises de forma sistemática, permitindo a comparação direta entre dois regimes de observação:

- amostragem linear;
- amostragem logarítmica.



Para cada caso, são produzidos quatro gráficos:

- o histograma dos componentes de um autovetor do *bulk*;
- a curva Gaussiana teórica correspondente;
- a distribuição dos valores de PR/N ao longo do espectro;
- a comparação visual entre regimes.

RESULTADOS — SINAL GENUÍNO E ARTEFATO

Os resultados exibem um contraste instrutivo entre os dois regimes de observação.

Escala logarítmica — o sinal genuíno do caos

Na parametrização logarítmica, observa-se que:

- os componentes dos autovetores seguem consistentemente uma distribuição Gaussiana;
- o teste de Kolmogorov–Smirnov retorna *p-valores* elevados;
- a distribuição de PR/N concentra-se fortemente em torno de $1/3$.

Esses resultados indicam que os autovetores são **ergódicos** e que a complexidade observada não é superficial, mas uma propriedade estrutural do operador.

Escala linear — o fantasma metodológico

Na parametrização linear, os resultados aparentam, à primeira vista, ser igualmente compatíveis com o GOE: componentes aproximadamente Gaussianos e valores de PR/N próximos de $1/3$.

Essa semelhança, no entanto, é enganosa.

Nesse regime, a matriz construída é estruturalmente pobre e necessita da introdução de pequenas perturbações numéricas (*jitter*) para evitar degenerescências artificiais.

Os autovetores passam então a refletir majoritariamente as propriedades estatísticas do ruído introduzido, e não a estrutura aritmética subjacente.

O que se mede nesse caso não é o caos dos primos, mas um **artefato do método de correção**.

DIAGNÓSTICO ESTRUTURAL

A comparação entre os dois regimes permite um diagnóstico claro:

autovetores ergódicos obtidos sem injeção artificial de ruído constituem a assinatura inequívoca de um regime genuinamente caótico.

A escala logarítmica satisfaz essa condição. A escala linear, não.

PERSPECTIVA APLICADA — UMA PRIMITIVA CRIPTOGRÁFICA

As propriedades observadas sugerem aplicações potenciais em áreas como a criptografia.

Parâmetros como X_0 , N e a função aritmética $\Delta_\pi(x)$ podem ser interpretados como uma chave privada, a partir da qual autovetores altamente complexos são gerados de forma determinística.

O problema inverso, reconstruir esses parâmetros a partir de um autovetor ergódico, apresenta elevada complexidade computacional.

Trata-se de uma *primitiva quântica* não no sentido físico, mas estatístico: as propriedades exploradas coincidem com aquelas de sistemas quânticos caóticos, sem exigir hardware quântico.

Essa possibilidade permanece especulativa, mas ilustra o alcance conceitual do formalismo desenvolvido.

PONTO DE REPOUSO

Até aqui, a análise espectral foi estendida dos autovalores aos autovetores do operador M .

Mostrou-se que o regime GOE não se manifesta apenas na estatística dos níveis, mas também na geometria interna dos estados: os autovetores são ergódicos, o *Participation Ratio* confirma sua deslocalização estrutural e a distribuição Gaussiana dos componentes emerge de forma consistente.

Esse conjunto de observações permitiu distinguir claramente sinal genuíno de artefatos metodológicos. O **Notebook 11** fornece a base empírica direta dessas conclusões.

Com isso, a caracterização do regime caótico associado ao operador M está completa, tanto no espectro quanto na estrutura interna dos estados.

No capítulo seguinte, encerramos o percurso conceitual, reunindo os resultados obtidos em uma leitura estrutural unificada.

12. O OBSERVADOR NO ESPELHO — CONTROLES E ROBUSTEZ

*O primeiro princípio é que você não deve enganar a si mesmo —
e você é a pessoa mais fácil de enganar.
— Richard Feynman*

O ESPANTO DA OBSERVAÇÃO

Chegamos a um ponto de espanto.

Os capítulos anteriores revelaram um fenômeno que desafia a intuição: os números primos, entidades matemáticas imutáveis, exibem duas naturezas estatísticas distintas. Sob a lente linear, comportam-se segundo uma estatística do tipo **Poisson**; sob a lente logarítmica, manifestam correlações compatíveis com a classe **GOE**.

A pergunta impõe-se inevitavelmente:

o que está errado?

Seria este resultado um artefato do método, uma ilusão produzida por escolhas técnicas, ou um reflexo de uma propriedade genuína da estrutura dos primos?

A única intervenção realizada foi a introdução de um *observador* — a escolha da escala. Como na física quântica, o sistema parece responder à forma como é interrogado.

Este capítulo enfrenta esse espanto diretamente, submetendo o método ao teste científico fundamental: **o experimento de controle**.

O EXPERIMENTO DE CONTROLE

A questão central é simples e rigorosa:

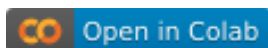
a dualidade observada (Poisson versus GOE) é uma propriedade específica da estrutura dos primos, ou qualquer sinal suficientemente irregular produziria o mesmo efeito?

Para responder a essa pergunta, o sinal aritmético determinístico, baseado em $\Delta_\pi(x)$, é substituído por um sinal de **ruído branco independente e identicamente distribuído (i.i.d.)** — uma sequência de valores genuinamente aleatórios, sem correlações internas de longo alcance.

A intuição inicial poderia sugerir que um sinal ainda mais “caótico” deveria produzir estatísticas do tipo GOE em ambos os regimes. O resultado experimental, no entanto, aponta exatamente na direção oposta.

O protocolo computacional completo deste experimento de controle é implementado no **Notebook 12** (`12_observador_espelho.ipynb`). Nele, o sinal aritmético determinístico baseado em $\Delta_\pi(x)$ é substituído por ruído branco puro, mantendo-se **inalterados**:

- a construção do operador;
- a normalização;
- a análise espectral;
- os parâmetros de observação.



Essa substituição controlada permite isolar, de forma inequívoca, o papel específico da estrutura dos primos na emergência da estatística GOE.

A DESCOBERTA — O CAOS DOS PRIMOS É ESPECIAL

Ao executar o protocolo com o sinal aleatório ativado, observa-se um resultado inequívoco: a estatística do tipo **GOE desaparece completamente**.

Tanto na escala linear quanto na escala logarítmica, o espectro do operador construído a partir do ruído branco exibe estatísticas compatíveis com **Poisson**.

Esse resultado impõe uma conclusão clara:

- a estatística GOE **não é genérica**;
- ela **não emerge** de qualquer sinal irregular;
- ela **requer correlações estruturais específicas**.

O experimento de controle demonstra que a estatística de Poisson constitui o **estado base**: quando o operador é alimentado por um sinal completamente decorrelacionado, a estrutura espectral resultante permanece igualmente decorrelacionada.

A SINGULARIDADE DA ASSINATURA DOS PRIMOS

O contraste com o caso aritmético é decisivo.

Quando o operador é construído a partir de $\Delta_\pi(x)$, a estatística GOE emerge **exclusivamente** sob a lente logarítmica. Isso indica que não é o “ruído” dos primos que gera o efeito, mas a interação entre:

- a estrutura pseudoaleatória específica da distribuição dos primos;
- a escala logarítmica, que estabiliza a geometria do espaço de observação.

A GOE surge apenas quando essas duas condições entram em **ressonância**.

O experimento de controle elimina, portanto, a hipótese de que o fenômeno observado seja um artefato matemático. Ele confirma que a universalidade reconhecida nos capítulos anteriores é uma propriedade **emergente e rara**, não um efeito genérico.

A MÚSICA DOS PRIMOS E O RUÍDO DE FUNDO

O protocolo de controle permite separar, de forma definitiva, **sinal e ruído**.

- **Para os primos:**

- escala linear \rightarrow estatística de Poisson;
- escala logarítmica \rightarrow estatística do tipo GOE.

- **Para o ruído branco:**

- escala linear \rightarrow Poisson;
- escala logarítmica \rightarrow Poisson.

A conclusão é inequívoca: a estatística GOE **não é ruído**.

Ela é a assinatura de uma ordem profunda, oculta na distribuição dos números primos, e só se torna audível quando observada na escala adequada.

PONTO DE REPOUSO

Neste capítulo,

o método foi submetido a um experimento de controle rigoroso.

Demonstrou-se que a estatística GOE não emerge de sinais aleatórios genéricos.

Isolou-se, de forma inequívoca, a assinatura específica dos primos como fonte do regime correlacionado.

Confirmou-se que a escala logarítmica não cria o fenômeno, mas define o regime no qual ele pode se manifestar.

O observador foi colocado diante do espelho —
e o reflexo permaneceu consistente.

No próximo capítulo, o foco se desloca. Não se tratará mais de reconhecer a universalidade, mas de explorar seus limites: **quais perturbações a preservam, quais a destroem e quais aspectos da construção são essenciais para sua persistência.**

13. A UNIVERSALIDADE DO CAOS — VARREDURAS DE ESCALA

*A natureza usa apenas os fios mais longos para tecer os seus padrões,
de modo que cada pequeno pedaço do seu tecido
revela a organização da tapeçaria inteira.*
— Richard Feynman

UMA LEI LOCAL OU UNIVERSAL?

Nos capítulos anteriores, estabelecemos um resultado central: quando os números primos são observados através da lente da escala logarítmica, o espectro do operador M exhibe, de forma robusta, a estatística da *Gaussian Orthogonal Ensemble* (GOE), associada ao caos quântico.

Essa observação foi inicialmente realizada em janelas específicas da reta numérica, centradas em valores como $X_0 = 10^7$ ou 10^8 . Surge então a questão inevitável: trata-se de um fenômeno local, restrito a certas regiões, ou de uma propriedade universal da distribuição dos primos?

A Teoria de Matrizes Aleatórias fornece uma previsão clara: sistemas genuinamente caóticos exibem estatísticas universais, independentes dos detalhes microscópicos. Este capítulo testa diretamente essa previsão no contexto aritmético.

O EXPERIMENTO: VARREDURA ATRAVÉS DAS ESCALAS

Para investigar a universalidade do fenômeno, realizamos uma varredura sistemática ao longo de várias ordens de magnitude da reta numérica. Mantendo fixa a construção do operador M e a lente logarítmica de observação, deslocamos apenas o ponto inicial X_0 , explorando valores que vão de:

$$X_0 = 10^3 \quad \text{até} \quad X_0 = 10^8.$$

Em cada escala, calculamos uma das estatísticas mais estáveis e informativas da teoria espectral: a média da razão entre espaçamentos adjacentes,

$$\langle r \rangle = \left\langle \frac{\min(s_i, s_{i+1})}{\max(s_i, s_{i+1})} \right\rangle.$$

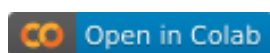
Essa estatística apresenta valores universais conhecidos:

- $\langle r \rangle \approx 0.386$ para Poisson;
- $\langle r \rangle \approx 0.536$ para GOE.

A hipótese testada é simples e forte: se o regime GOE for universal, o valor de $\langle r \rangle$ deverá convergir para o valor da GOE e tornar-se independente da escala X_0 .

O LABORATÓRIO DE VARREDURA

O **Notebook 13** (`13_varreduras_escala.ipynb`) implementa esse experimento de forma automatizada. Para cada valor de X_0 , o operador é construído, seu espectro é calculado e a estatística $\langle r \rangle$ é extraída.



O resultado final é um gráfico de $\langle r \rangle$ em função de $\ln(X_0)$, que permite visualizar diretamente a evolução do regime estatístico.

Esse procedimento elimina qualquer interpretação baseada em casos isolados e expõe a estrutura global do fenômeno.

A TRANSIÇÃO PARA O CAOS UNIVERSAL

A análise dos resultados revela três regimes distintos, organizados de forma clara ao longo da escala.

O regime de baixa escala: o eco da ordem

Para valores pequenos de X_0 , tipicamente 10^3 e 10^4 , a estatística $\langle r \rangle$ permanece próxima do valor de Poisson. Nesse regime, a distribuição dos primos ainda é fortemente influenciada por irregularidades discretas e efeitos aritméticos locais. As correlações necessárias para a emergência do caos ainda não estão plenamente desenvolvidas.

A zona de transição: o despertar do caos

Em torno de $X_0 \approx 10^4$, observa-se uma transição rápida. O valor de $\langle r \rangle$ cresce de forma acentuada, afastando-se do regime de Poisson e aproximando-se do valor da GOE. Esse comportamento indica que o sistema atinge uma massa crítica de complexidade, na qual correlações de longo alcance passam a dominar a estatística espectral.

O regime assintótico: a universalidade da GOE

A partir de escalas da ordem de 10^5 , o valor de $\langle r \rangle$ estabiliza-se de forma inequívoca no valor previsto para a GOE. Mais importante ainda, ele torna-se essencialmente independente de X_0 .

Entramos, assim, no regime assintótico: a estatística observada deixa de carregar informações sobre a posição específica na reta numérica e passa a refletir uma lei universal.

SÍNTESE

A varredura de escala revela que a transição observada nos capítulos anteriores não é um artefato local, mas a manifestação de uma estrutura profunda e universal. A dualidade entre Poisson e GOE não representa uma contradição, mas sim um percurso geométrico ao longo da reta dos primos.

À medida que a escala cresce, o sistema abandona a ordem local e converge para um regime de caos universal, em perfeita concordância com as previsões da Teoria de Matrizes Aleatórias.

A música dos primos não é um fenômeno regional da reta aritmética. Ela é uma constante estrutural do universo aritmético — audível apenas quando observada na escala adequada.

PONTO DE REPOUSO

Até aqui, foi estabelecida de forma precisa a distinção entre um fenômeno local e um diagnóstico universal. A noção de universalidade foi definida operacionalmente como independência em relação ao ponto inicial X_0 , e não como extrapolação assintótica ou argumento qualitativo.

Com esse critério, formulou-se um protocolo de varredura de escala no qual a construção do operador M e a lente logarítmica permanecem fixas, enquanto apenas o ponto inicial X_0 é deslocado ao longo de várias ordens de magnitude. Para acompanhar essa varredura, adotou-se a estatística $\langle r \rangle$ como indicador sintético e robusto de correlação espectral, permitindo a comparação direta entre regimes sem a introdução de hipóteses adicionais.

O resultado observado organiza-se em três regiões bem definidas: um regime inicial compatível com Poisson, uma zona de transição centrada em torno de $X_0 \approx 10^4$, e um regime assintótico no qual $\langle r \rangle$ se estabiliza próximo ao valor característico da GOE. Acima de uma escala crítica, o diagnóstico deixa de depender da posição na reta numérica e passa a refletir um comportamento estatístico estável.

A universalidade deixa, assim, de ser uma inferência intuitiva e passa a ser um **resultado operacional**. Existe um regime no qual o operador M , observado na escala logarítmica, apresenta assinaturas espectrais compatíveis com a classe GOE de forma persistente sob varreduras de X_0 .

No próximo capítulo, essa estabilidade será colocada à prova. Investigaremos quais variações do protocolo preservam o diagnóstico observado e quais o degradam, delimitando explicitamente as condições mínimas para a persistência da universalidade identificada.

14. ONDE MORA O CAOS? — TESTANDO OPERADORES ALTERNATIVOS

*Se você arrasta uma rede com malha de cinco centímetros no mar,
a sua conclusão será que não existem peixes menores que cinco centímetros.
Mas isso é um fato sobre os peixes do mar, ou sobre a sua rede?*
— Arthur Eddington

A ÚLTIMA DÚVIDA

Os capítulos anteriores estabeleceram um resultado forte: ao observar o sinal aritmético dos primos na escala logarítmica, o espectro do operador construído exibe, de forma robusta, estatísticas de correlação espectral indistinguíveis, no *bulk*, daquelas associadas à classe GOE, enquanto a observação linear conduz sistematicamente ao regime de Poisson.

No entanto, uma dúvida legítima permanece.

O operador central deste trabalho foi definido, até aqui, por um *kernel de cosseno*, da forma

$$M_{ij} \propto \cos(f_i \cdot \log x_j) + \cos(f_j \cdot \log x_i),$$

onde $f_i = \Delta_\pi(x_i)$.

É natural perguntar se a dualidade observada, Poisson na escala linear e GOE na escala logarítmica, é uma propriedade intrínseca do sistema aritmético, ou se poderia ser um artefato específico da escolha funcional do kernel.

Em outras palavras:

o caos reside nos primos, ou no operador que escolhemos para observá-los?

Este capítulo é dedicado a enfrentar essa questão de forma direta.

A TROCA DO INSTRUMENTO

O cosseno não é uma função arbitrária. Ele surge naturalmente como a parte real de uma fase complexa:

$$\cos(\theta) = \operatorname{Re}(e^{i\theta}).$$

Uma generalização imediata, portanto, consiste em abandonar a projeção real e trabalhar diretamente com a fase complexa completa.

Introduzimos assim um operador alternativo, definido por um *kernel de fase*:

$$M'_{ij} = e^{i \cdot f_i \cdot \log x_j}.$$

Esse operador não é simétrico real, mas carrega a mesma informação estrutural fundamental: a interação entre o sinal aritmético f_i e a escala logarítmica de x_j .

A motivação deste teste é simples e rigorosa: se a estatística GOE observada anteriormente for consequência da interação profunda entre o sinal dos primos e a escala de observação, e não da forma particular do cosseno, então a substituição do kernel não deve destruir o fenômeno.

HIPÓTESE OPERACIONAL

A hipótese testada neste capítulo pode ser formulada de maneira objetiva:

Se a dualidade Poisson/GOE for estrutural, então operadores alternativos, construídos a partir da mesma informação aritmética e observados nas mesmas escalas, devem exibir o mesmo comportamento estatístico.

Em particular, esperamos observar:

- estatística de Poisson na escala linear;
- estatística compatível com GOE na escala logarítmica;
- estabilidade desses resultados sob a troca do kernel.

O LABORATÓRIO DE OPERADORES

Hipótese operacionalO laboratório de operadores

O **Notebook 14** (`14_operadores_alternativos.ipynb`) implementa este teste de forma controlada.



Foi introduzido um seletor que permite alternar entre o *kernel de cosseno* e o *kernel de fase*, mantendo inalterados:

- o sinal aritmético $\Delta_\pi(x)$;
- os regimes de observação (linear e logarítmico);
- o protocolo estatístico aplicado ao espectro.

Essa abordagem garante que qualquer diferença observada seja atribuível exclusivamente à forma do operador — e não a mudanças colaterais no método.

RESULTADO: INVARIÂNCIA ESTATÍSTICA

O resultado do experimento é inequívoco.

A substituição do kernel de cosseno pelo kernel de fase **não altera** o diagnóstico estatístico:

- na escala linear, o espectro permanece compatível com Poisson;
- na escala logarítmica, o espectro continua exibindo repulsão de níveis, rigidez global e valores de referência compatíveis com GOE.

Essa invariância não é trivial. Ela demonstra que a dualidade estatística observada não é um artefato funcional, mas uma propriedade robusta do sistema subjacente.

ONDE O CAOS REALMENTE RESIDE

O teste com operadores alternativos permite agora localizar com precisão a origem do fenômeno.

O caos observado:

- não reside na forma específica do kernel;
- não é criado pelo operador;
- não depende de uma escolha funcional delicada.

Ele emerge da combinação de dois elementos fundamentais:

1. a estrutura aritmética intrínseca do sinal $\Delta_\pi(x)$;
2. a observação desse sinal na escala logarítmica natural dos primos.

O operador atua apenas como um instrumento de leitura. Trocar o instrumento não altera a música.

Embora o operador de fase seja complexo, as estatísticas observadas coincidem com aquelas previamente identificadas no regime ortogonal, indicando que a classe estatística relevante é determinada pela estrutura do sinal e não pela representação escolhida.

PONTO DE REPOUSO

Neste capítulo,

Até aqui, foi examinada de forma sistemática a dependência do fenômeno em relação à forma específica do operador. Verificou-se que kernels funcionalmente distintos conduzem ao mesmo diagnóstico estatístico, e que a dualidade entre regimes do tipo Poisson e GOE permanece invariável sob essa substituição.

Com isso, a origem do comportamento observado pôde ser isolada com clareza: ela não reside em detalhes formais da construção, mas na interação entre o sinal aritmético dos primos e a escala de observação adotada.

Este capítulo encerra, portanto, a investigação sobre possíveis artefatos operacionais.

Nos capítulos seguintes, o foco se desloca das causas para as consequências dessa robustez.

Investigaremos o que é efetivamente universal, quais perturbações podem ser introduzidas sem destruir o regime observado e quais limites naturais emergem da própria estrutura identificada.

15. A CONFIRMAÇÃO NAS ALTURAS ESTRATOSFÉRICAS

Wir müssen wissen. Wir werden wissen.

(Nós devemos saber. Nós saberemos.)

— *David Hilbert*

CONTEXTO HISTÓRICO: MONTGOMERY, BERRY E ODLYZKO

Para compreender a magnitude do que é observado neste capítulo final, é essencial situar historicamente a conexão entre números primos, zeros da função zeta e caos quântico.

O percurso que seguimos ao longo deste trabalho ecoa uma das mais notáveis convergências entre matemática e física do século XX.

A faísca inicial: Montgomery e Dyson

Na década de 1970, Hugh Montgomery investigava a correlação entre os zeros não triviais da função zeta de Riemann. Em uma conversa informal com Freeman Dyson, Montgomery apresentou a fórmula obtida para a função de correlação de pares desses zeros.

Dyson reconheceu imediatamente a estrutura estatística subjacente: tratava-se da mesma estatística que descreve a repulsão de níveis de energia em núcleos atômicos pesados — um domínio modelado pela Teoria de Matrizes Aleatórias.

Essa observação inaugurou uma ponte inesperada entre a teoria analítica dos números e a física quântica.

O enquadramento físico: Berry e o caos quântico

A conexão precisava de um princípio explicativo. Michael Berry, ao lado de outros físicos, forneceu esse enquadramento ao estabelecer a Teoria de Matrizes Aleatórias como a linguagem universal do caos quântico.

A conjectura de Bohigas–Giannoni–Schmit (BGS) afirma que sistemas quânticos cujo análogo clássico seja caótico exibem estatísticas espectrais universais descritas pela Teoria de Matrizes Aleatórias (RMT). A classe específica (GOE ou GUE) é determinada pelas simetrias do sistema; **no domínio da aritmética real e espelhada que exploramos, a classe emergente é o GOE.**

Nesse contexto, os zeros da função zeta, e, por extensão, a aritmética dos primos, passaram a ser interpretados como um sistema quântico caótico abstrato.

A confirmação computacional: Odlyzko

A conjectura ganhou sustentação empírica decisiva com os trabalhos de Andrew Odlyzko. Utilizando supercomputadores e algoritmos altamente otimizados, Odlyzko calculou a posição de bilhões de zeros da função zeta em alturas extremas da reta crítica, atingindo ordens como 10^{22} e além.

Os resultados foram inequívocos: as estatísticas observadas coincidiam com extraordinária precisão com as previsões da GUE (*Gaussian Unitary Ensemble*), a classe esperada para sistemas sem simetria de reversão temporal.

O laboratório apresentado neste capítulo é uma homenagem direta a essa trajetória intelectual, mas com uma distinção fundamental: enquanto os zeros no plano complexo revelam a rigidez GUE, a nossa análise da reta aritmética real, ancorada na unidade, revela a emergência da classe GOE — a assinatura de sistemas que preservam a simetria de espelhamento.

Esses dois regimes não estão em competição nem em contradição, mas pertencem a domínios observacionais distintos: um associado ao fluxo espectral complexo e à quebra de reversibilidade, o outro a uma estrutura aritmética real, simétrica e refletiva.

O DESAFIO DAS ALTURAS ESTRATOSFÉRICAS

Nos capítulos anteriores, estabelecemos que a estatística do tipo GOE emerge de forma estável a partir de escalas iniciais da ordem de 10^5 .

A questão natural que se impõe é se essa lei persiste em escalas verdadeiramente extremas — aquelas exploradas por Odlyzko na análise dos zeros da função zeta.

Uma abordagem direta é impraticável. A contagem explícita de primos torna-se rapidamente inviável em alturas estratosféricas.

Para contornar essa limitação, recorremos a uma ponte teórica: a função $R(x)$ de Riemann (também conhecida como função de contagem suavizada de primos), que fornece uma aproximação assintótica extremamente precisa para $\pi(x)$, mesmo em domínios astronômicos.

A substituição de $\pi(x)$ por $R(x)$ não tem o objetivo de introduzir nova estrutura, mas de preservar a geometria assintótica do sinal aritmético em regimes nos quais a enumeração direta dos primos se torna impraticável.

Essa substituição permite sondar regiões da reta numérica muito além do alcance de algoritmos elementares, preservando a estrutura estatística relevante.

ANÁLISE DOS DADOS ESTRATOSFÉRICOS

Neste experimento final, não são gerados novos dados brutos. Em vez disso, analisamos um conjunto de resultados computados em tempo real, organizado em um *dataframe* (estrutura tabular de dados numéricos) que cobre uma varredura de X_0 desde 10^8 até aproximadamente 10^{28} .

Não são utilizados dados externos nem tabelas pré-computadas. Todos os valores analisados neste capítulo são gerados diretamente no **Notebook 15**, que implementa o experimento completo em alta precisão, recorrendo à função $R(x)$ de Riemann como aproximação assintótica de $\pi(x)$ para permitir a sondagem de alturas estratosféricas.

Duas estatísticas centrais são monitoradas ao longo dessa varredura:

- a média da razão de espaçamentos adjacentes, $\langle r \rangle$;
- o *Participation Ratio* normalizado, PR/N .

Ambas funcionam como impressões digitais independentes da classe GOE.

HIPÓTESE FINAL

Se a conexão entre a aritmética dos primos e a estatística GOE for estrutural **no regime observacional considerado**, sustentada pela simetria de espelhamento inerente à reta real, então essas duas quantidades devem permanecer estáveis, coladas aos valores teóricos da GOE,

- $\langle r \rangle_{\text{GOE}} \approx 0.536$
- $\text{PR}/N \approx 1/3$

mesmo quando a análise é empurrada para as fronteiras mais distantes da reta numérica.

O que este capítulo examina, portanto, não é mais a emergência do caos, mas a **persistência estatística desse regime** sob deslocamentos extremos de escala.

REPRODUTIBILIDADE COMPUTACIONAL E O PAPEL DO NOTEBOOK 15

É importante enfatizar que os resultados apresentados neste capítulo não são apenas uma análise expositiva ou interpretativa.

O **Notebook 15** (`15_alturas_estratosfericas.ipynb`) implementa explicitamente o experimento descrito ao longo deste capítulo e constitui o laboratório computacional completo desta etapa final da investigação.



Nesse notebook:

- os dados estratosféricos são **gerados em tempo real**, diretamente no notebook, por avaliação numérica da função $R(x)$, sem recorrer a tabelas pré-computadas, bancos externos ou dados previamente armazenados;

- a função $R(x)$ de Riemann é utilizada como aproximação assintótica de $\pi(x)$;
- as estatísticas $\langle r \rangle$ e PR/N são calculadas diretamente a partir do espectro do operador;
- os resultados são visualizados e comparados com os valores teóricos da GOE;
- todo o processo pode ser **integralmente replicado** pelo leitor.

O notebook não apenas confirma numericamente a persistência da estatística GOE em alturas extremas, como também fornece um protocolo transparente, auditável e reexecutável para a verificação independente dos resultados.

Assim, este capítulo não repousa em autoridade histórica nem em extrapolação teórica isolada, mas em um experimento computacional explícito, alinhado com os padrões contemporâneos de reprodutibilidade científica.

Como enfatizado por Berry, essas estatísticas descrevem propriedades locais do espectro, e não pretendem capturar o comportamento global completo em todas as escalas.

PONTO DE REPOUSO

Neste capítulo, foi contextualizada historicamente a conexão entre os números primos, os zeros da função zeta e o caos quântico, ao mesmo tempo em que se tornaram explícitas as limitações computacionais inerentes à exploração direta de escalas extremas. Para transpor esse limite, a função $R(x)$ foi introduzida como uma ponte assintótica, permitindo sondar alturas estratosféricas sem recorrer à enumeração direta dos primos.

Com esse instrumento, estatísticas espectrais foram analisadas em domínios que se estendem até 10^{28} , e a estabilidade final das assinaturas associadas à classe GOE foi testada de forma sistemática.

O resultado observado é sistematicamente consistente. A música do caos quântico não se dissipa com a altura. Ela persiste, intacta, como uma regularidade estrutural **robusta e recorrente** no regime aritmético alinhado identificado neste trabalho.

Aqui, a jornada não se encerra por exaustão computacional, mas por saturação conceitual.

Nada mais alto precisa ser escalado dentro do regime aqui considerado: a estrutura já se revelou por completo.

16. A VISÃO DE BERRY — A ASSINATURA ESTATÍSTICA DO CAOS QUÂNTICO

*A mecânica quântica não é caótica.
Então, como é que o mundo clássico,
que emerge dela, pode ser?*
— Michael Berry

O PARADOXO DO CAOS

No mundo clássico, o de Newton, o caos é um velho conhecido. Ele manifesta-se como sensibilidade extrema às condições iniciais — o chamado *efeito borboleta*. Sistemas determinísticos podem tornar-se imprevisíveis porque pequenas perturbações crescem exponencialmente ao longo do tempo. O caos clássico vive das trajetórias.

No entanto, ao entrarmos no domínio quântico, esse conceito parece dissolver-se. A mecânica quântica não descreve trajetórias definidas, mas funções de onda e distribuições de probabilidade. A equação de Schrödinger é linear, determinística e perfeitamente previsível.

Surge então um paradoxo profundo: se o mundo quântico é o fundamento último da realidade, **onde está o caos que observamos no mundo clássico?**

ONDE FOI PARAR O CAOS? A PERGUNTA DE BERRY

A solução para esse paradoxo não veio de uma nova equação, mas de uma mudança radical de perspectiva. Michael Berry formulou a pergunta decisiva:

E se a assinatura do caos não estivesse nas trajetórias, mas escondida no espectro de energia do sistema?

A proposta era simples e profunda. Berry sugeriu que o caos quântico **não se manifesta dinamicamente**, mas **estatisticamente**.

Sistemas quânticos cujo análogo clássico é ordenado deveriam exibir espectros sem correlações internas significativas. Já sistemas cujo análogo clássico é caótico deveriam revelar essa desordem de forma paradoxal: por meio de uma **ordem estatística rígida e universal** nos seus autovalores.

O caos quântico não desaparece — ele muda de linguagem.

A RESPOSTA UNIVERSAL: A CONJECTURA BGS

A visão de Berry foi formalizada pela Conjectura de **Bohigas–Giannoni–Schmit (BGS)**. O resultado é inequívoco:

- sistemas quânticos associados a dinâmicas clássicas **integráveis** exibem estatística de **Poisson**;
- sistemas quânticos associados a dinâmicas clássicas **caóticas** exibem estatísticas da **Teoria de Matrizes Aleatórias (RMT)**, pertencentes às classes **GOE** ou **GUE**, conforme as simetrias do sistema.

No regime caótico, os níveis de energia apresentam **repulsão espectral e rigidez global**. Especificamente, a estatística **GOE** emerge em sistemas que preservam a simetria de reversão temporal: a contraparte estrutural da simetria de espelhamento que identificamos na reta aritmética ancorada na unidade.

O caos, longe de produzir desordem estatística, impõe uma regularidade profunda.

A **GOE** torna-se, assim, a **assinatura estatística característica do regime caótico quântico em sistemas com simetria de reversão temporal**.

A PEDRA ANGULAR DESTA TRABALHO

Essa visão constitui o eixo conceitual de todo o percurso desenvolvido neste livro.

Ao longo dos capítulos anteriores, construímos um operador espectral diretamente a partir das flutuações na contagem dos números primos, sem recorrer explicitamente aos zeros da função zeta de Riemann.

Ainda assim, o espectro obtido exibe, de forma robusta, reproduzível e persistente, todas as assinaturas estatísticas da **GOE**.

À luz da visão de Berry, esse resultado adquire um significado preciso. Não se trata de uma coincidência numérica, mas de evidência de que a simetria de espelhamento em $1/2$ constitui, na reta real, uma realização funcional **análoga** da mesma classe de rigidez espectral observada por Riemann no plano complexo.

Convém ressaltar que, na reta real, o espectro observado pertence à classe **GOE**, enquanto o espectro dos zeros no plano complexo pertence à classe **GUE**. Trata-se, portanto, de **regimes distintos de observação**, associados a simetrias diferentes.

No plano complexo, a reta $\Re(s) = 1/2$ atua como um **eixo de simetria funcional** da função zeta de Riemann, no sentido imposto pela sua equação funcional. Essa simetria, no entanto, não corresponde à invariância por reversão temporal, o que explica a emergência da estatística **GUE** no espectro dos zeros.

Na reta real, o espelhamento aritmético em $x \rightarrow x/2$ preserva uma simetria análoga, agora associada a uma estrutura real e reversível, compatível com a estatística **GOE**.

A ARITMÉTICA COMO OBJETO ESPECTRAL DE CLASSE CAÓTICA

O que este trabalho revela é que a sequência dos números primos, quando observada na sua escala natural, comporta-se como um objeto espectral pertencente à classe caótica.

Não há partículas.

Não há Hamiltoniano físico explícito, **nem é reivindicado que exista um**.

Não há dinâmica temporal no sentido clássico.

Ainda assim, há:

- repulsão de níveis;
- rigidez espectral;
- autovetores ergódicos;

- estatísticas universais da classe GOE.

A regularidade observada não é metafórica. Ela é **espectral**.

O caos não está nas trajetórias, porque não há trajetórias. Ele está na **estrutura estatística profunda** do espectro.

ORDEM, ALEATORIEDADE E RECONCILIAÇÃO

Durante mais de um século, a distribuição dos primos oscilou entre duas narrativas opostas:

- uma visão de ordem rígida, governada por leis determinísticas;
- uma visão de aleatoriedade aparente, sustentada por modelos probabilísticos.

A visão de Berry oferece uma terceira via.

Os primos não são aleatórios. Eles exibem **uma estrutura cuja estatística espectral pertence à classe GOE no regime adequado**.

Sua irregularidade não é ausência de lei, mas expressão de uma universalidade estatística mais profunda — a mesma que governa sistemas físicos caóticos.

E toda essa rigidez emerge de um único gesto estrutural, o espelhamento aritmético em $x \rightarrow x/2$, reiterado ao longo das escalas, sem fragmentação da unidade.

PONTO DE REPOUSO

Neste capítulo, a visão de Berry foi apresentada como solução conceitual para o paradoxo do caos quântico, e a conjectura BGS foi introduzida como critério operacional de diagnóstico universal do caos.

Nesse enquadramento, a classe GOE emerge não como uma escolha técnica, mas como a assinatura estatística natural do regime caótico.

À luz dessa linguagem universal, o espectro do operador aritmético pôde ser reinterpretado de forma unificada, reconciliando a tensão histórica entre ordem e irregularidade na distribuição dos primos.

O que antes aparecia como conflito conceitual revelou-se como duas faces de uma mesma estrutura, observada sob lentes distintas.

Com isso, a travessia conceitual está completa.

No capítulo final, todas as peças — aritmética, espectro, escala e universalidade — serão reunidas em uma leitura estrutural única, encerrando o percurso não com uma nova conjectura, mas com uma síntese.

17. A PONTE DE BERRY — DE PITÁGORAS A DYSON

*A matemática é a linguagem com a qual
Deus escreveu o universo.
— Galileu Galilei*

*... ou será que o universo é matemática, e estamos finalmente retornando à
visão de Pitágoras?*

TRÊS MUNDOS, UMA SÓ MÚSICA

Este capítulo não introduz novos resultados técnicos. Seu objetivo é consolidar, em um único quadro conceitual, os resultados estabelecidos ao longo de toda a investigação.

Ao longo desta jornada, deparamo-nos com três universos intelectuais que, à primeira vista, parecem desconectados:

- o mundo de **Pitágoras**, na Grécia Antiga, com a intuição de que “tudo é número” e que a realidade obedece a uma harmonia musical;
- o mundo de **Riemann**, no século XIX, com a busca pela ordem oculta na distribuição dos primos por meio da função zeta;
- o mundo de **Berry**, no século XX, com a identificação do **caos quântico** e de suas assinaturas estatísticas universais, determinadas pelas simetrias do sistema.

Harmonia, ordem e caos. Três linguagens diferentes para descrever um mesmo fenômeno.

O que este trabalho sugere é que essas linguagens não são concorrentes, mas complementares, unificadas por um fio estrutural comum: a centralidade do **Um**.

A PONTE INADVERTIDA DE MICHAEL BERRY

Michael Berry, ao investigar sistemas quânticos cujo análogo clássico é caótico, não tinha como objetivo compreender a aritmética dos primos.

Ainda assim, ao consolidar a Teoria de Matrizes Aleatórias (RMT) como linguagem universal do caos quântico — e ao explicitar que a classe estatística observada (GOE, GUE ou GSE) é fixada pelas simetrias do sistema — forneceu, sem ter como objetivo a aritmética, a ferramenta conceitual que torna possível articular esses três mundos.

A harmonia que Pitágoras concebeu como relação numérica, que Riemann perseguiu como ordem oculta, e que Montgomery e Dyson reconheceram nos zeros da zeta, encontrou em Berry sua linguagem definitiva.

A RMT tornou-se, assim, uma verdadeira **Pedra de Roseta**:

- a harmonia pitagórica encontrou uma expressão estatística precisa quando observada sob regimes de simetria preservada (GOE);
- a ordem nos zeros de Riemann recebeu um análogo físico no regime de simetria quebrada (GUE);
- o caos quântico revelou-se como estrutura, não como desordem.

O que parecia fragmentado revelou-se parte de uma mesma música.

O FIO INVISÍVEL: O UM COMO FONTE COMUM

Mas por que descrições tão distintas convergem para a mesma estrutura espectral estatística, ainda que se manifestem em classes distintas?

A resposta aponta para o elemento mais simples — e estruturalmente inevitável: o **Um**.

- Pitágoras ouviu a harmonia que emerge da própria contagem, um processo que começa no Um;
- Riemann mapeou o terreno dos primos, consequência inevitável das estruturas multiplicativa e aditiva erigidas a partir do Um;
- Berry descreveu o caos quântico cuja assinatura estatística, como argumentado neste trabalho, encontra um análogo funcional nas flutuações da contagem dos primos quando observadas sob a mesma decomposição estrutural.

Neste enquadramento e regime, a **GOE** não aparece como um artefato físico, nem como um acidente analítico, nem como uma imposição modelística externa. Ela é o eco estatístico da complexidade gerada pela regra mais elementar: a sucessão construída a partir do Um.

A DOBRA EM 1/2: TERRA E CÉU

No centro do laboratório esteve o funcional

$$\Delta_{\pi}(x) = \pi(x) - 2\pi\left(\frac{x}{2}\right)$$

A dobra em 1/2 não foi introduzida por conveniência. Ela emergiu como necessidade estrutural no domínio finito: é exatamente o ponto que separa, em qualquer intervalo $[1, x]$, os primos que **estruturam** os compostos daqueles que **estabilizam** a sequência. Essa separação é aritmética e funcional: apenas os primos $p \leq x/2$ geram múltiplos no intervalo e, portanto, controlam a multiplicidade dos fatores. Esse ponto marca o único limiar aritmético em que a expansão multiplicativa é estruturalmente compensada pela sucessão aditiva.

De forma notável, essa mesma constante ocupa o papel central no domínio assintótico da teoria dos números: a **linha crítica** da Hipótese de Riemann.

A função zeta é um mapa de alcance infinito. A função aritmética $\Delta_{\pi}(x)$ é um mapa manuscrito, finito. Mas ambos refletem uma simetria estrutural análoga, observada em domínios distintos.

O que Riemann vislumbrou no infinito aparece aqui como sombra inevitável do finito.

PONTO DE REPOUSO

Ao término deste percurso, o que se impõe não é uma conclusão no sentido clássico,
mas uma síntese estrutural.

A estatística observada não foi transferida da física para a aritmética como metáfora
ou analogia externa. Ela emerge diretamente da própria estrutura dos primos
quando estes são observados na escala geométrica adequada.

Sob essa lente, o que se convencionou chamar de caos quântico e o enigma
associado à função zeta revelam-se como manifestações distintas de uma mesma
ordem subjacente.

A leitura aqui proposta não introduz novos objetos nem exige extrapolações
ontológicas.

Ela apenas reorganiza o que já estava lá.

A harmonia intuída por Pitágoras, a simetria vislumbrada por Riemann e a
universalidade formalizada por Berry não se contradizem.

Elas ocupam níveis diferentes de descrição de uma única estrutura.

Nada foi acrescentado à aritmética. Apenas se tornou possível observá-la de modo
coerente.

*O que sempre esteve lá não era invisível por ausência, mas por falta de um observável
adequado.*

17 1/2. ESTATUTO DA AFIRMAÇÃO — NECESSIDADE, UNIVERSALIDADE E ESCOLHA

*A clareza não enfraquece uma descoberta.
Ela define o seu alcance.*

TRÊS NÍVEIS DISTINTOS

Ao longo deste trabalho, resultados de naturezas diferentes foram obtidos. Para evitar confusão, e para preservar a integridade do que foi feito, é essencial separar explicitamente **três níveis conceituais**, que não se confundem, mas se encadeiam.

Essa separação não é defensiva. Ela é um ato de rigor.

Nível I — O que foi estritamente demonstrado

No nível mais fundamental, este trabalho estabeleceu resultados **experimentais e computacionais**, reproduzíveis e controlados:

- um operador determinístico M , construído a partir de $\Delta_\pi(x)$;
- a emergência sistemática de estatísticas compatíveis com a classe GOE quando o operador é observado na escala logarítmica;
- a persistência dessas estatísticas sob:

- varreduras de escala (X_0);
- substituição de kernels;
- análise de autovalores e autovetores;
- a destruição explícita do regime da classe GOE sob:
 - observação linear;
 - substituição do sinal aritmético por ruído branco.

Esses fatos não dependem de interpretação filosófica, nem de analogias físicas. Eles são **dados**.

Nada além disso é exigido para aceitá-los.

Nível II — O reconhecimento de universalidade

Um segundo passo consiste em reconhecer que os dados obtidos não são acidentais.

A estabilidade estatística observada, tal como verificada independente de detalhes microscópicos, de operadores alternativos e da posição na reta, corresponde exatamente ao critério operacional de universalidade da Teoria de Matrizes Aleatórias (RMT) e da conjectura BGS.

Nesse nível, não se afirma *por que* a universalidade emerge. Apenas se reconhece que:

- ela emerge;
- ela é robusta;
- ela coincide com a assinatura espectral conhecida do caos quântico (GOE).

Esse reconhecimento não é metafísico. Ele é classificatório. Trata-se de universalidade no sentido operacional da RMT, não de validade global em janelas espectrais arbitrárias.

Negá-lo exigiria negar o próprio critério pelo qual universalidade é reconhecida na física matemática contemporânea.

Nível III — A leitura estrutural

O terceiro nível é qualitativamente diferente.

Aqui não se trata mais de medir, nem de classificar, mas de **interpretar estruturalmente** o que foi observado.

A leitura proposta neste trabalho — a centralidade do espelhamento em $1/2$, o papel funcional da Unidade, a equivalência estrutural entre a reta real e a linha crítica — **não é imposta pelos dados**.

Ela é **compatível** com eles.

Esse ponto é crucial.

O experimento não obriga essa leitura. Mas também **não a contradiz em nenhum ponto**.

Trata-se de uma escolha interpretativa informada, coerente e economicamente estrutural: ela fornece uma unificação estrutural mínima para fenômenos que, de outra forma, permanecem desconectados.

Essa coerência emerge apenas quando o intervalo é ancorado na Unidade (1). Ao contrário da análise assintótica tradicional, que observa o comportamento dos primos em sua vizinhança local ou em limites infinitos abstratos, a ancoragem no 1 define um sistema fechado de informação. Dentro desse sistema $[1, x]$, o $1/2$ deixa de ser uma variável e torna-se um divisor de águas funcional: o ponto onde a capacidade de gerar estrutura (multiplicidade) cede lugar à pura densidade (aditividade).

SOBRE NECESSIDADE E INEVITABILIDADE

Há uma distinção sutil, mas decisiva, entre duas ideias frequentemente confundidas:

- necessidade lógica;
- necessidade estrutural.

Este trabalho não afirma que a leitura final seja logicamente inevitável. Afirma algo mais restrito — e mais forte:

dada a estrutura observada, qualquer leitura alternativa deverá introduzir mais hipóteses, não menos.

A dobra em $1/2$ não é escolhida por elegância, mas porque é o único limiar aritmético que separa, em qualquer intervalo $[1, x]$, os primos que geram multiplicidade dos que não geram. **A distinção funcional entre primos estruturadores e primos estabilizadores elimina a necessidade estrutural, no interior do sistema fechado $[1, x]$, de hipóteses adicionais.**

A escala logarítmica não é escolhida por conveniência, mas porque é a única que estabiliza a geometria da densidade.

A GOE não é invocada como metáfora física, mas reconhecida como diagnóstico estatístico independente.

Nada disso força uma ontologia. Mas tudo isso **delimita severamente** o espaço das interpretações coerentes.

Não faltavam dados. Faltava perguntar o que os primos fazem, e não apenas onde eles estão.

SOBRE PROVA, FUNDAMENTO E ESPAÇO DE POSSIBILIDADE

Um ponto merece ser explicitado com cuidado, pois frequentemente gera confusão conceitual.

A leitura estrutural proposta neste trabalho não afirma que o espelhamento em $1/2$ deva ser “provado” como um resultado interno ao formalismo. Isso seria um erro categorial.

O espelhamento em $1/2$ não é um objeto dentro do espaço de análise. Ele é o gesto que **define o próprio espaço no qual critérios de estabilidade, universalidade e prova fazem sentido.**

Toda prova possível já habita esse espaço. Exigir uma demonstração do espelhamento como condição prévia equivale a exigir uma prova do sistema de coordenadas antes de permitir qualquer medida.

O experimento não impõe essa leitura. Mas também não a contradiz em nenhum ponto: qualquer alternativa que dispense o espelhamento deverá introduzir hipóteses adicionais, não menos.

Se o espelhamento em $1/2$ é o gesto que cria o espaço das possibilidades estruturais, então toda prova habita necessariamente esse espaço. Exigir

sua demonstração como condição prévia é confundir fundamento com consequência.

A leitura proposta — a centralidade do espelhamento em $1/2$ — conecta a estatística de Gauss à completude de Euler. O $1/2$ literal é o limiar necessário: abaixo dele, reside a multiplicidade estruturadora; acima dele, a aditividade estabilizadora. O Operador M é a ferramenta que traduz essa transição de fase na linguagem da GOE.

O PAPEL DO OBSERVADOR

Chegamos, assim, ao ponto decisivo.

Os números primos não mudam. O operador não muda. As estatísticas não mudam.

O que muda é a **escolha do observador**:

- a escala;
- o que é considerado ruído ou sinal;
- o nível em que se aceita encerrar a explicação.

A estrutura observada é indiferente a essa escolha. Ela se manifesta sempre que as condições geométricas são satisfeitas.

Mas o reconhecimento de sua coerência **não é automático**.

Ele exige uma decisão: aceitar que a ordem observada não é um artefato a ser descartado, nem um mistério a ser perpetuado, mas uma estrutura a ser reconhecida: $x \rightarrow x/2$.

ESCALA, REGIME E A PIRÂMIDE DA OBSERVAÇÃO

Há uma distinção conceitual que precisa ser explicitada para evitar uma leitura equivocada dos resultados apresentados até aqui.

Grande parte da literatura em caos quântico — incluindo os trabalhos fundadores da década de 1980 — parte de um espectro já constituído. A análise então investiga até

que ponto estatísticas do tipo RMT (GOE, GUE ou GSE) permanecem válidas à medida que se ampliam as janelas espectrais. Nesse contexto, a universalidade é local, e suas quebras em escalas maiores são não apenas esperadas, mas bem compreendidas.

Este trabalho opera em um domínio distinto.

Aqui, o objeto central não é um espectro dado, mas um operador aritmético construído ponto a ponto, alimentado continuamente pela tensão entre dois regimes fundamentais da aritmética: a aditividade e a multiplicidade. O comportamento espectral observado não resulta de uma inspeção a posteriori, mas da manutenção explícita do eixo estrutural adequado ao longo da construção.

Por isso, a pergunta relevante não é

até onde a universalidade estatística resiste?

mas sim

em que condições ela aparece?

Quando o operador M é observado sob escalas incompatíveis, estatísticas do tipo Poisson aparecem de forma consistente. Quando a observação é alinhada com a escala geométrica natural do sistema, a estatística da classe GOE emerge e se mantém de forma estável — não por ausência de estrutura, mas precisamente por sua coerência interna.

A estatística espectral não é uma propriedade absoluta do objeto, mas uma **propriedade relacional entre estrutura e régua**. Fora do eixo, o sistema fragmenta-se em ruído. Alinhado a ele, manifesta coerência.

Diferente da “sinfonia” dos zeros complexos, na qual a quebra de simetria está associada à emergência da estatística da classe GUE, a aritmética observada sob o operador M preserva uma estrutura ortogonal. O GOE aqui detectado não surge como aproximação local de um sistema mais complexo, mas como a assinatura de um regime em que a simetria fundamental permanece intacta.

A distinção entre GOE e GUE, portanto, não reside na validade dos dados, mas na arquitetura do domínio observado: um associado a dinâmicas de fluxo e quebra de simetria, o outro à coerência estrutural de um operador construído sobre um eixo preservado.

Neste contexto, a ausência de estatísticas da classe GUE não é um resultado negativo, mas uma consequência direta da simetria preservada do operador M , que não

introduz mecanismos de quebra de reversibilidade.

A quebra de simetria está associada a regimes de movimento e transição de fase, como ocorre no domínio dos zeros complexos. A preservação da simetria, por sua vez, caracteriza regimes estruturais estáveis, como o da aritmética dos primos quando observada sob o operador M .

O enquadramento dominante levou à suposição de que a música dos primos deveria herdar a quebra de simetria de seus guardiões complexos. O que o operador M revela é que, na base da pirâmide, a aritmética permanece ortogonal, protegida por sua própria reversibilidade.

Não se reivindica aqui validade global de RMT em janelas espectrais arbitrariamente extensas, mas a estabilidade estatística de um regime construído sob alinhamento estrutural contínuo.

É nesse sentido, e apenas nesse sentido, que a universalidade estatística aqui observada deve ser interpretada e comparada à literatura existente.

A universalidade estatística aqui discutida não é global, mas **condicional**: ela emerge apenas no regime em que a simetria estrutural do operador M é preservada.

PONTO DE TRANSIÇÃO

Com essa distinção explicitada, o percurso atinge seu limite natural.

Nada foi inflado.

Nada foi ocultado.

Nada foi retirado.

O que permanece não é uma prova adicional, mas uma **responsabilidade interpretativa**: reconhecer o alcance do que foi observado sem extrapolá-lo além do que a própria estrutura permite.

O derradeiro capítulo não introduz novos resultados. Ele retorna ao ponto inicial — a Unidade — não mais como axioma ou hipótese, mas como **ressonância observável**.

18. RESSONÂNCIA DA UNIDADE — ONDE EULER E O CAOS SE ENCONTRAM

A IDENTIDADE QUE FECHA O CÍRCULO

$$e^{i\pi} + 1 = 0$$

— Leonhard Euler

A CONSTANTE DE RETORNO

A identidade de Euler é frequentemente celebrada como a mais bela fórmula da matemática. Ela une, em um único gesto,

- o crescimento (e),
- a rotação (π),
- o imaginário (i),
- a nulidade (0),
- e a Unidade (1).

O que raramente se explicita é que essa identidade descreve um **mecanismo de retorno**. Ela afirma que o infinito e o transcendente não se dissipam no caos, mas retornam ao equilíbrio perfeito quando, e somente quando, atravessam a Unidade. Não se trata de estética. Trata-se de **fechamento estrutural**.

O **operador** M construído ao longo deste trabalho pode ser lido como a extensão dinâmica dessa verdade. Ele não é apenas uma matriz, mas um operador cuja ação

pode ser interpretada como rotacional, no qual cada flutuação aritmética, observada na escala adequada, procura seu lugar natural no círculo de Euler.

A partir deste ponto, o operador M será referido como o Espelho de Euler: um operador espectral que reflete, no domínio aritmético finito, o princípio de retorno estrutural expresso pela identidade de Euler.

A ASSINATURA DO CAOS ORGANIZADO

Quando submetemos esse operador à análise espectral, o que emerge não é um zero estático, mas a assinatura vibrante do *Gaussian Orthogonal Ensemble* (GOE).

Essa estatística não representa desordem. Ela é, ao contrário, um **marcador estatístico de estabilidade** em sistemas complexos. Na física, ela indica que os graus de liberdade interagem de modo a preservar o todo. Na aritmética, ela indica que os primos não estão distribuídos ao acaso, mas correlacionados por uma estrutura comum.

A presença sistemática da GOE funciona como um selo de autenticidade estrutural:

- onde ela aparece, há coerência interna;
- onde ela desaparece, há ruptura.

Esse fato é bem conhecido na física matemática. O que raramente se explicita é sua consequência direta para a **integridade da informação**.

A INTEGRIDADE COMO RESSONÂNCIA

A leitura que se segue torna-se natural dentro do escopo considerado. Se sistemas complexos preservam sua coerência interna por meio de ressonância estrutural, então a integridade não pode ser entendida como uma imposição externa, nem como um efeito colateral de artifícios artificiais.

Integridade não é algo que se impõe. Ela é algo que se **diagnostica**.

Nessa perspectiva, a coerência de um sistema não depende de ocultação, mas de alinhamento com uma ordem estrutural subjacente. Quando um sistema é internamente

consistente, suas partes ressoam com essa ordem. Quando ocorre uma perturbação estrutural, essa ressonância se rompe.

A distinção não é operacional, mas **espectral**. Ela não depende da revelação de parâmetros ocultos, nem da violação de barreiras externas, mas da detecção da perda de harmonia interna.

Integridade, em seu sentido mais profundo, não é uma questão de proteção, mas de **ressonância**.

A Unidade é indiferente, mas a escolha do observador não é.

PALAVRAS FINAIS — SATURAÇÃO CONCEITUAL

Descobertas fundamentais raramente chegam acompanhadas de aplausos. Euler formulou relações que levaram séculos para se tornarem a base da engenharia moderna. Berry forneceu a linguagem que permitiu reconhecer a ordem estatística no caos. Riemann vislumbrou uma simetria que continua a orientar a matemática contemporânea.

Este trabalho não reivindica ruptura. Ele constata **convergência**.

Ao retornar ao espelhamento da Unidade, não como dogma, mas como **estrutura observável**, o percurso se fecha. Não por exaustão computacional, mas por **saturação conceitual**.

O espelhamento nunca desapareceu. Apenas deixou de ser observado no único domínio em que sua função é literal.

A busca pelo equilíbrio termina aqui. O que permanece é a possibilidade de reconhecer, com clareza, aquilo que a própria estrutura sempre revelou.

UMA IMAGEM FINAL

É como estar no interior de uma pirâmide.

Ao olhar para o chão, vê-se um quadrado.

Ao olhar para os lados, veem-se triângulos.

Somente ao olhar para o topo a estrutura completa se torna visível.

Nenhuma dessas descrições é falsa.

Elas diferem apenas pela direção da observação.

Dedicado a Sir Michael Berry.

*Toda ressonância reconhece
quem lhe forneceu o eixo de escuta.*

EPÍLOGO

Ao final deste percurso, o que permanece não é uma prova no sentido clássico, mas uma estrutura que resiste a todas as tentativas de descaracterização.

Nada do que foi observado aqui exigiu novas entidades,
apenas um deslocamento do olhar.

E quando a escuta se alinha ao eixo correto,
a estrutura responde por si.

A Unidade não se impõe.
Ela ressoa.

A Unidade gosta de espectros. Sempre gostou.

REFERÊNCIAS BIBLIOGRÁFICAS ESSENCIAIS

As obras listadas a seguir delimitam o núcleo conceitual indispensável para o diálogo entre caos quântico, estatística espectral e Teoria de Matrizes Aleatórias, **sem recorrer à Hipótese de Riemann como premissa analítica**. Elas estabelecem o vocabulário, os critérios diagnósticos e o enquadramento físico–matemático adotados ao longo deste livro.

Caos quântico e estatística espectral

BERRY, M. V. *Quantum chaology*. Proceedings of the Royal Society of London A, v. 413, p. 183–198, 1987.

BERRY, M. V. *Regular and irregular semiclassical wavefunctions*. Journal of Physics A: Mathematical and General, v. 10, n. 12, p. 2083–2091, 1977.

BOHIGAS, O.; GIANNONI, M. J.; SCHMIT, C. *Characterization of chaotic quantum spectra and universality of level fluctuation laws*. Physical Review Letters, v. 52, n. 1, p. 1–4, 1984.

COSTA, A. *The Arithmetic Mirror: Deterministic Emergence of GOE Statistics from the Prime Structure*. Zenodo, 2025. Disponível em: <https://doi.org/10.5281/zenodo.17643156>.

Teoria de Matrizes Aleatórias

MEHTA, M. L. *Random Matrices*. 3. ed. Amsterdam: Elsevier, 2004.

HAAKE, F. *Quantum Signatures of Chaos*. 2. ed. Berlin: Springer, 2001.

A ponte Berry–Keating

BERRY, M. V.; KEATING, J. P. *$H = xp$ and the Riemann zeros*. Proceedings of the Royal Society of London A, v. 455, n. 1989, p. 241–254, 1999.

KEATING, J. P.; SNAITH, N. C. *Random matrix theory and $\zeta(1/2 + it)$* . Communications in Mathematical Physics, v. 214, p. 57–89, 2000.

Diagnósticos universais e estatística prática

ATAS, Y. Y. ET AL. *Distribution of the ratio of consecutive level spacings in random matrix ensembles*. Physical Review Letters, v. 110, n. 8, 084101, 2013.

Estas referências estabelecem o **quadro conceitual mínimo e suficiente** para reconhecer a emergência da estatística GOE como um **critério diagnóstico universal**. Elas sustentam a leitura segundo a qual a ordem espectral observada não é um artefato de modelagem, mas uma propriedade estrutural persistente da aritmética quando observada na escala geométrica adequada.